

برقی آلات

خالد خان یوسفزئی

جامعہ کامیٹ، اسلام آباد

khalidyou safzai@comsats.edu.pk

عنوان

ix	دیاچہ
3	1 بنیادی حقائق
3	1.1 بنیادی اکائیاں
3	1.2 غیر سمتی
4	1.3 سمتیہ
5	1.4 محدود
5	1.4.1 کارتیسی محدودی نظام
7	1.4.2 تکلی محدودی نظام
9	1.5 سمتیہ رقبہ
11	1.6 رقبہ عمودی تراش
12	1.7 برقی اور مقناطیسی میدان
12	1.7.1 برقی میدان اور برقی میدان کی شدت
13	1.7.2 مقناطیسی میدان اور مقناطیسی میدان کی شدت

13	سطحی اور حجمی کشافت	1.8
13	1.8.1 سطحی کشافت	
14	حجمی کشافت	1.9
15	صلیبی ضرب اور ضرب نقطہ	1.10
15	1.10.1 صلیبی ضرب	
17	1.10.2 نقطہ ضرب	
20	1.11 تفرق اور جزوی تفرق	
20	1.12 خطی مکمل	
21	1.13 سطحی مکمل	
22	1.14 دوری سمتیہ	
27	2 مقناطیسی ادوار	
27	2.1 مزاحمت اور ہنگامہ	
28	2.2 کشافِ برقی رد اور برقی میدان کی شدت	
30	2.3 برقی ادوار	
32	2.4 مقناطیسی دور حصہ اول	
34	2.5 کشافِ مقناطیسی بہا اور مقناطیسی میدان کی شدت	
36	2.6 مقناطیسی دور حصہ دوم	
40	2.7 خود امالہ، مشترکہ امالہ اور توانائی	
47	2.8 مقناطیسی مادہ کے خواص	
51	2.9 ہجیان شدہ لچھا	

57	3	ٹرانسفارمر
58	3.1	ٹرانسفارمر کی اہمیت
61	3.2	ٹرانسفارمر کے اقسام
61	3.3	امالی برقی دباؤ
63	3.4	ہیجان انگیز برقی رد اور قابلی ضیاع
66	3.5	تبادلہ برقی دباؤ اور تبادلہ برقی رو کے خواص
70	3.6	ثانوی جانب بوجھ کا ابتدائی جانب اثر
71	3.7	ٹرانسفارمر کی علامت پر نقطوں کا مطلب
72	3.8	رکاوٹ کا تبادلہ
77	3.9	ٹرانسفارمر کا وولٹ-کمپیئر
79	3.10	ٹرانسفارمر کے امالہ اور مساوی ادوار
79	3.10.1	لچھے کی مزاحمت اور اس کی متعاملہ علیحدہ کرنا
81	3.10.2	رستا امالہ
82	3.10.3	ثانوی برقی رد اور قالب کے اثرات
83	3.10.4	ثانوی لچھے کا امالی برقی دباؤ
83	3.10.5	ثانوی لچھے کی مزاحمت اور متعاملہ کے اثرات
85	3.10.6	رکاوٹ کا ابتدائی یا ثانوی جانب تبادلہ
87	3.10.7	ٹرانسفارمر کے سادہ ترین مساوی ادوار
88	3.11	کھلے دور معائنہ اور کسر دور معائنہ
89	3.11.1	کھلا دور معائنہ
91	3.11.2	کسر دور معائنہ
95	3.12	تین دوری ٹرانسفارمر
103	3.13	ٹرانسفارمر چالو کرتے لمحہ زیادہ محرکی برقی رو کا گزر

105	4	برقی اور میکانیکی توانائی کا باہمی تبادلہ
105	4.1	مقتناطیسی نظام میں قوت اور قوت مروڑ
111	4.2	تبادلہ توانائی والا ایک لچھے کا نظام
117	4.3	توانائی اور ہمہ توانائی
121	4.4	متعدد لچھوں کا مقتناطیسی نظام
129	5	گھومتے مشین کے بنیادی اصول
129	5.1	قانون فیراڈے
130	5.2	معاصر مشین
140	5.3	محرك برقی دباو
143	5.4	پھیلے لچھے اور سائن نما مقتناطیسی دباو
145	5.4.1	بدلتارو والے مشین
153	5.5	مقتناطیسی دباو کی گھومتی امواج
153	5.5.1	ایک دور کی لپٹی مشین
155	5.5.2	تین دور کی لپٹی مشین کا تحلیلی تجزیہ
159	5.5.3	تین دور کی لپٹی مشین کا ترسیلی تجزیہ
163	5.6	محرك برقی دباو
163	5.6.1	بدلتارو برقی جزیر
168	5.6.2	یک سمتی رو برقی جزیر
169	5.7	ہموار قطب مشینوں میں قوت مروڑ
170	5.7.1	توانائی کے طریقے سے میکانیکی قوت مروڑ کا حساب
172	5.7.2	مقتناطیسی بہاؤ سے میکانیکی قوت مروڑ کا حساب

179	6 یکساں حال، برقرار چالو معاصر مشین
180	6.1 متعدد مرحلہ معاصر مشین
183	6.2 معاصر مشین کے امالہ
184	6.2.1 خود امالہ
185	6.2.2 مشترکہ امالہ
187	6.2.3 معاصر امالہ
189	6.3 معاصر مشین کا مساوی دور یا ریاضی نمونہ
191	6.4 برقی طاقت کی منتقلی
196	6.5 یکساں حال، برقرار چالو مشین کے خصوصیات
196	6.5.1 معاصر جزیئر: برقی بوجھ بالمتقابل I_m کے خطوط
197	6.5.2 معاصر موثر: I_a بالمتقابل I_m کے خط
199	6.6 کھلے دور اور کسر دور معائنہ
199	6.6.1 کھلے دور معائنہ
200	6.6.2 کسر دور معائنہ

- 7.1 ساکن لچھوں کی گھومتی مقناطیسی موج 212
- 7.2 مشین کی سرکے اور گھومتی موجوں پر تبصرہ 212
- 7.3 ساکن لچھوں میں امالی برقی دباؤ 215
- 7.4 ساکن لچھوں کی موج کا گھومتے لچھوں کے ساتھ اضافی رفتار اور ان میں پیدا امالی برقی دباؤ 215
- 7.5 گھومتے لچھوں کی گھومتی مقناطیسی دباؤ کی موج 219
- 7.6 گھومتے لچھوں کے مساوی فرضی ساکن لچھے 220
- 7.7 امالی موٹر کا مساوی برقی دور 221
- 7.8 مساوی برقی دور پر غور 226
- 7.9 امالی موٹر کا مساوی تھون دور یا ریاضی نمونہ 230
- 7.10 پنجرانما امالی موٹر 237
- 7.11 بے بوجھ موٹر اور جامد موٹر کے معائنہ 237
- 7.11.1 بے بوجھ موٹر کا معائنہ 237
- 7.11.2 جامد موٹر کا معائنہ 239

- 8.1 میکانی سمت کار کی بنیادی کارکردگی 245
- 8.1.1 میکانی سمت کار کی تفصیل 247
- 8.2 یک سمتی جزیرے کی برقی دباؤ 251
- 8.3 قوت مروڑ 253
- 8.4 بیرونی پیمان اور خود پیمان یک سمتی جزیرے 255
- 8.5 یک سمتی مشین کی کارکردگی کے خط 259
- 8.5.1 حاصل برقی دباؤ بالمتقابل برقی بوجھ 259
- 8.5.2 رفتار بالمتقابل قوت مروڑ 261

باب 5

گھومتے مشین کے بنیادی اصول

اس باب میں مختلف گھومتے مشینوں کے بنیادی اصولوں پر غور کیا جائے گا۔ ظاہری طور پر مختلف مشین ایک ہی قسم کے اصولوں پر کام کرتے ہیں جنہیں اس باب میں اکٹھا کیا گیا ہے۔

5.1 قانون فیراڈے

قانون فیراڈے¹ کے تحت جب بھی کسی لچھے کا ارتباط بہاؤ λ وقت کے ساتھ تبدیل ہو، اس لچھے میں برقی دباؤ پیدا ہو گا:

$$e = \frac{\partial \lambda}{\partial t} = N \frac{\partial \phi}{\partial t} \quad (5.1)$$

چونکہ ہمیں برقی دباؤ کی قیمت ناکہ اس کے \mp سے دلچسپی ہے لہذا اس مساوات میں منفی کی علامت کو نظر انداز کیا گیا ہے۔

گھومتے مشین میں ارتباط بہاؤ کی تبدیلی مختلف طریقوں سے پیدا کی جاسکتی ہے۔ مثلاً لچھے کو ساکن مقناطیسی بہاؤ میں گھما کر یا ساکن لچھے میں مقناطیس گھما کر، وغیرہ وغیرہ۔

¹ Faraday's law

ان برقی مشینوں میں لچھے مقناطیسی قالب² پر لپیٹے جاتے ہیں۔ اس طرح کم سے کم مقناطیسی دباؤ سے زیادہ سے زیادہ مقناطیسی بہاو حاصل کیا جاتا ہے اور لچھوں کے مابین مشترکہ مقناطیسی بہاو بڑھایا جاتا ہے۔ مزید قالب کی شکل تبدیل کر کے مقناطیسی بہاو کو ضرورت کے مقام پر پہنچایا جاتا ہے۔

ان مشینوں کے قالب میں مقناطیسی بہاو وقت کے ساتھ تبدیل ہوتا ہے لہذا قالب میں بھنور نما برقی رو³ پیدا ہوتا ہے۔ ان بھنور نما برقی رو کو کم سے کم کرنے کی خاطر باریک لوہے کی پٹری⁴ تہہ در تہہ رکھ قالب بنایا جاتا ہے۔ آپ کو یاد ہو گا، ٹرانسفارمر کا قالب بھی اسی طرح بنایا جاتا ہے۔

5.2 معاصر مشین

شکل 5.1 میں معاصر برقی جنریٹر کا ایک بنیادی شکل دکھایا گیا ہے۔ اس کے قالب میں ایک مقناطیس ہے جو کہ گھوم سکتا ہے۔ مقناطیس کا مقام اس کے میکانیکی زاویہ θ_m سے بتلائی جاتی ہے۔ افقی لکیر سے گھڑی کے مخالف زاویہ θ_m ناپا جاتا ہے۔

یہاں کچھ باتیں وضاحت طلب ہیں۔ اگر مقناطیس ایک مقررہ رفتار سے، فی سیکنڈ n مکمل چکر کاٹتا ہو تب ہم کہتے ہیں کہ اس مقناطیس کے گھومنے کا تعدد n ہرٹز⁵ ہے۔ اسی بات کو یوں بھی بیان کیا جاتا ہے کہ مقناطیس $60n$ چکر فی منٹ⁶ کی رفتار سے گھوم رہا ہے۔ آپ جانتے ہیں کہ ایک چکر 360° زاویہ یا 2π ریڈیئن⁷ پر مشتمل ہوتا ہے لہذا گھومنے کی اس رفتار کو $2\pi n$ ریڈیئن فی سیکنڈ بھی کہہ سکتے ہیں۔ یوں اگر مقناطیس f ہرٹز کی رفتار سے گھوم رہا ہو تب یہ $2\pi f$ ریڈیئن فی سیکنڈ کی رفتار سے گھومے گا جس کو ω سے ظاہر کیا جاتا ہے۔

$$(5.2) \quad \omega = 2\pi f$$

اس کتاب میں گھومنے کی رفتار کو عموماً ریڈیئن فی سیکنڈ میں بیان کیا جائے گا۔

شکل 5.1 میں مشین کے دو مقناطیسی قطب ہیں، اس لئے اس کو دو قطبی مشین کہتے ہیں۔ ساکن قالب میں، اندر کی جانب دو شکاف ہیں، جن میں N چکر کا لچھا موجود ہے۔ لچھے کو a اور a' سے ظاہر کیا گیا ہے۔ اس لچھے کی بنا

²magnetic core

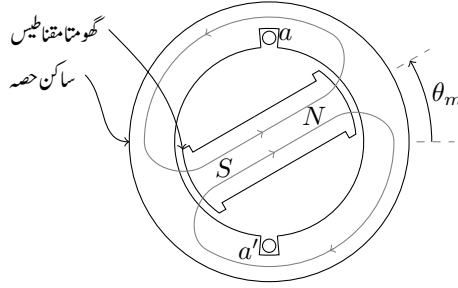
³eddy currents

⁴laminations

⁵Hertz

⁶rounds per minute, rpm

⁷radians



شکل 5.1: دو قطب، یک دوری معاصر جزئیٹر۔

اس مشین کو ایک لچھے کا مشین بھی کہتے ہیں۔ چونکہ یہ لچھا جزئیٹر کے ساکن حصہ پر پایا جاتا ہے لہذا یہ لچھا بھی ساکن ہو گا جس کی بنا اسے ساکن لچھا⁸ کہتے ہیں۔

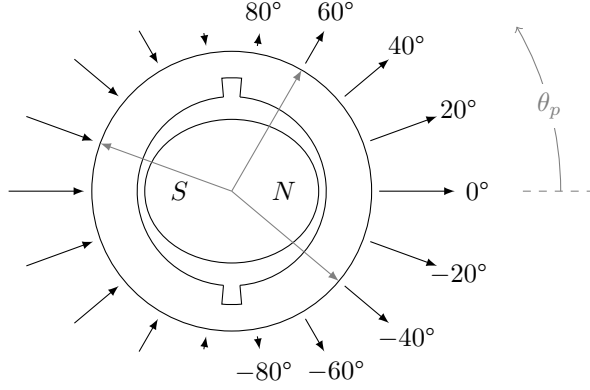
مقناطیس کا مقناطیسی بہاؤ شمالی قطب⁹ N سے خارج ہو کر خلائی درز میں سے ہوتا ہوا، باہر گول قالب میں سے گزر کر، دوسرے خلائی درز میں سے ہوتا ہوا، مقناطیس کے جنوبی قطب¹⁰ S میں داخل ہو گا۔ اس مقناطیسی بہاؤ کو ہلکی سیاہی کے لکیروں سے دکھایا گیا ہے۔ یہ مقناطیسی بہاؤ، سارا کا سارا، ساکن لچھے میں سے بھی گزرتا ہے۔ شکل 5.1 میں مقناطیس سیدھی سلاح کی مانند دکھایا گیا ہے۔

شکل 5.2 میں مقناطیس تقریباً گول ہے اور اس کے محور کا زاویہ θ_m صفر کے برابر ہے۔ مقناطیس اور ساکن قالب کے بیچ صفر زاویہ، $\theta = 0^\circ$ ، پر خلائی درز کی لمبائی کم سے کم اور نوے زاویہ، $\theta = 90^\circ$ ، پر زیادہ سے زیادہ ہے۔ کم خلائی درز پر ہچکچاہٹ کم ہو گی جبکہ زیادہ خلائی درز پر ہچکچاہٹ زیادہ ہو گی لہذا $\theta = 0^\circ$ پر خلائی درز سے زیادہ مقناطیسی بہاؤ گزرے گا جبکہ $\theta = 90^\circ$ پر کم بہاؤ گزرے گا۔ خلائی درز کی لمبائی یوں تبدیل کی جاتی ہے کہ خلائی درز میں سائن نما مقناطیسی بہاؤ پیدا ہو۔ مقناطیسی بہاؤ مقناطیس سے قالب میں عمودی زاویہ پر داخل ہوتا ہے۔ اگر خلائی درز میں B سائن نما ہو

$$(5.3) \quad B = B_0 \cos \theta_p$$

تب کثافت مقناطیسی بہاؤ B صفر زاویہ $\theta_p = 0^\circ$ پر زیادہ سے زیادہ اور نوے زاویہ، $\theta_p = 90^\circ$ ، پر صفر ہو گی اور خلائی درز میں مقناطیسی بہاؤ θ_p کے ساتھ تبدیل ہو گا۔ θ_p کو مقناطیس کے شمالی قطب سے گھڑی کے مخالف

stator coil⁸
north pole⁹
south pole¹⁰



شکل 5.2: کثافتِ مقناطیسی بہاؤ اور زاویہ کا تبدیلی۔

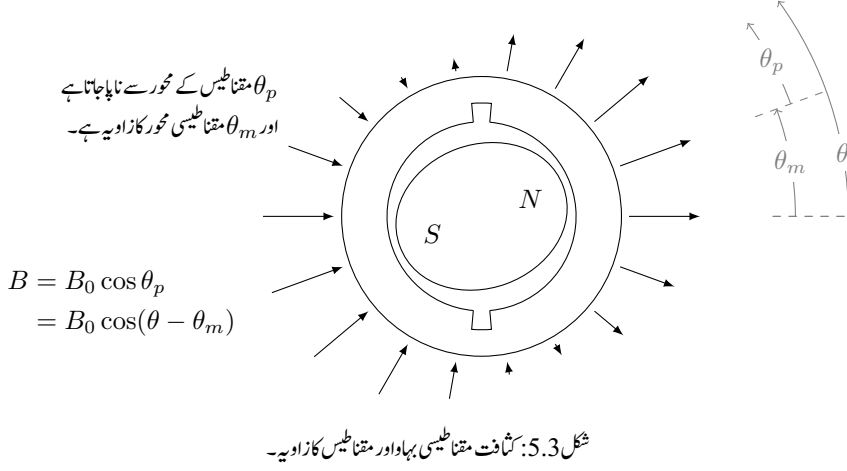
شکل 5.2 میں ساکن حصے کے باہر نوکیلی لکیروں کی لمبائی سے کثافتِ مقناطیسی بہاؤ کی مطلق قیمت اور لکیروں کے رخ سے بہاؤ کا رخ دکھایا گیا ہے۔ اس شکل میں ہلکی سیاہی سے -40° ، 60° اور 160° زاویوں پر رداسی رخ دکھایا گیا ہے۔ زاویات -40° اور 60° پر مقناطیسی بہاؤ رداسی رخ جبکہ 160° پر مقناطیسی بہاؤ رداسی رخ کے مخالف ہے۔ یوں شکل 5.2 میں آدھے درز میں کثافتِ مقناطیسی بہاؤ رداسی رخ جبکہ باقی آدھے میں مخالف رداسی رخ ہو گا۔ خلائی درز میں کثافتِ مقناطیسی بہاؤ B اور θ_p کا ترسیم سائن نما ہو گا۔ شکل 5.3 میں مقناطیس دوسرے زاویہ پر دکھایا گیا ہے۔ یاد رہے کثافتِ مقناطیسی بہاؤ کی مطلق قیمت مقناطیس کے شمالی قطب پر زیادہ سے زیادہ ہو گی اور شمالی قطب پر کثافتِ مقناطیسی بہاؤ رداسی رخ ہو گی۔ شکل 5.3 میں خلائی درز میں کثافتِ مقناطیسی بہاؤ B ، زاویے θ_p اور θ_m دکھائے گئے ہیں جہاں سے درج ذیل لکھا جا سکتا ہے۔

$$\begin{aligned} B &= B_0 \cos \theta_p \\ \theta_p &= \theta - \theta_m \end{aligned} \quad (5.4)$$

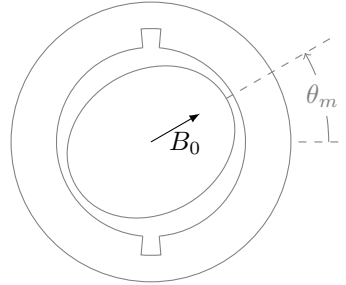
یوں درج ذیل ہو گا۔

$$B = B_0 \cos(\theta - \theta_m) \quad (5.5)$$

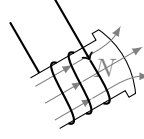
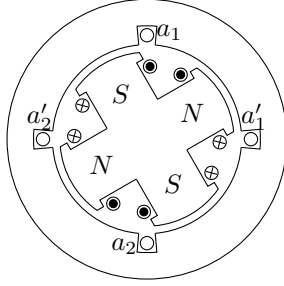
شکل 5.3 میں مقناطیس اور اس کا سائن نما مقناطیسی دباؤ پیش کیا گیا ہے۔ جیسا شکل 5.4 میں دکھایا گیا ہے، ایسے مقناطیسی دباؤ کو عموماً ایک سمتیہ سے ظاہر کیا جاتا ہے جہاں سمتیہ کا طول مقناطیسی دباؤ کا حیثہ اور سمتیہ کا رخ مقناطیس کے شمال کو ظاہر کرتا ہے۔



سائن نما مقناطیسی دباؤ
 کو سمتیہ سے ظاہر کیا جاتا ہے
 جس کا طول B_0 اور اس کا
 رخ چوٹی کا زاویہ دیتا ہے۔



شکل 5.4: مقناطیسی دباؤ کو سمتیہ سے ظاہر کیا جاتا ہے۔



شکل 5.5: چار قطب یک دوری معاصر جزیئر۔

شکل 5.3 میں مقناطیس کو لمحہ t_1 ، زاویہ $\theta_m(t_1)$ پر دکھایا گیا ہے جہاں ساکن لچھے کا ارتباط بہاؤ λ_θ ہے۔ اگر مقناطیس گھڑی کے مخالف رخ ایک مقررہ رفتار ω_0 سے گھوم رہا ہو تب ساکن لچھے میں اس لمحہ پر برقی دباؤ $e(t)$ پیدا ہوگا:

$$(5.6) \quad e(t) = \frac{d\lambda_\theta}{dt}$$

آدھے چکر، π ریڈین گھومنے کے، بعد مقناطیسی قطبین آپس میں جگہیں تبدیل کرتے ہیں، لچھے میں مقناطیسی بہاؤ کا رخ الٹ ہوگا، لچھے میں ارتباط بہاؤ $\lambda_\theta -$ اور اس میں امالی برقی دباؤ $e(t) -$ ہوگا۔ ایک مکمل چکر بعد مقناطیس دوبارہ اسی مقام پر ہوگا جو شکل 5.3 میں دکھایا گیا ہے، ساکن لچھے کا ارتباط بہاؤ دوبارہ λ_θ اور اس میں امالی برقی دباؤ $e(t)$ ہوگا۔ یوں جب بھی مقناطیس $\theta_m = 2\pi$ میکانی زاویہ طے کرے، امالی برقی دباؤ کے برقی زاویہ میں $\theta_e = 2\pi$ تبدیلی رونما ہوگی لہذا دو قطب، ایک لچھے کی مشین میں میکانی زاویہ θ_m اور برقی زاویہ θ_e ایک دوسرے کے برابر ہوں گے:

$$\theta_e = \theta_m$$

اس مشین میں اگر مقناطیس f_m چکر فی سیکنڈ کی رفتار سے گھومتا ہو تب لچھے میں امالی برقی دباؤ $e(t)$ بھی ایک سیکنڈ میں f_m مکمل چکر کاٹے گا لہذا $e(t)$ کے تعدد f_e ¹¹ کی قیمت f_m ہرٹز¹² ہوگی۔

$$f_e = f_m$$

اس مشین میں میکانی زاویہ θ_m اور برقی زاویہ θ_e وقت کے ساتھ تبدیل ہونے کے باوجود آپس میں ایک تناسب رکھتے ہیں لہذا ایسے مشین کو معاصر مشین¹³ کہتے ہیں۔ یہاں یہ تناسب ایک کے برابر ہے۔

¹¹ frequency

¹² Hertz

¹³ synchronous machine

شکل 5.5 میں چار قطب، یک دوری معاصر جزیئر دکھایا گیا ہے۔ چھوٹے مشینوں میں عموماً مقناطیس جبکہ بڑے مشینوں میں برقی مقناطیس¹⁴ استعمال ہوتے ہیں۔ اس شکل میں برقی مقناطیس استعمال کیے گئے ہیں۔ دو سے زائد قطبین والے مشینوں میں کسی ایک شمالی قطب کو حوالہ قطب تصور کیا جاتا ہے۔ شکل میں اس حوالہ قطب کو θ_m پر دکھایا گیا ہے اور یوں دوسرا شمالی قطب $(\theta_m + \pi)$ زاویہ پر ہے۔

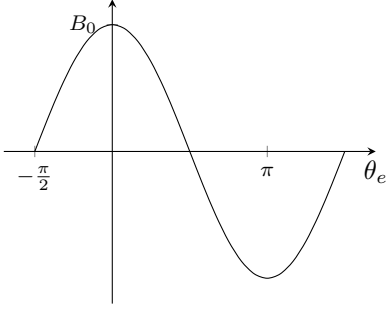
جیسا کہ نام سے واضح ہے، اس مشین میں مقناطیس کے چار قطبین ہیں۔ ہر ایک شمالی قطب کے بعد ایک جنوبی قطب آتا ہے۔ یک دوری آلات میں مقناطیسی قطبین کے جوڑوں کی تعداد اور ساکن لچھوں کی تعداد ایک دوسرے کے برابر ہوتی ہے۔ شکل 5.5 میں مشین کے چار قطب یعنی دو جوڑی قطبین ہیں، لہذا اس مشین کے ساکن حصہ پر دو ساکن لچھے ہوں ہیں۔ ایک لچھے کو a_1 سے واضح کیا گیا ہے اور دوسرے کو a_2 سے۔ لچھے a_1 کو قالب میں موجود دو شکاف a_1 اور a_1' میں لپیٹا گیا ہے۔ اسی طرح a_2 لچھے کو دو شکاف a_2 اور a_2' میں رکھا گیا ہے۔ ان دونوں لچھوں میں یکساں برقی دباؤ پیدا ہوتا ہے۔ دونوں لچھوں کو سلسلہ وار¹⁵ جوڑا جاتا ہے۔ اس طرح جزیئر سے حاصل برقی دباؤ ایک لچھے میں پیدا برقی دباؤ کا دگنا ہو گا۔ یک دوری آلات میں قالب کو مقناطیس کے قطبین کی تعداد کے برابر حصوں میں تقسیم کرنے سے مشین کا ہر ساکن لچھا ایک حصہ گھیرتا ہے۔ شکل 5.5 میں چار قطبین ہیں لہذا اس کا ایک لچھا نوے میکانی زاویہ کے احاطے کو گھیرتا ہے۔

ساکن اور حرکی لچھوں کی کارکردگی ایک دوسرے سے مختلف ہوتی ہے۔ اس کی وضاحت کرتے ہیں۔

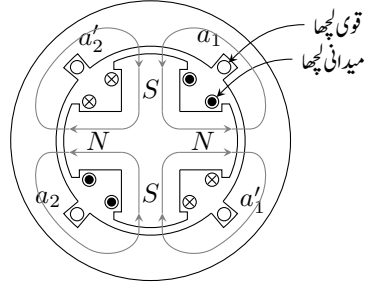
جیسا پہلے بھی ذکر کیا گیا چھوٹی گھومتی مشینوں میں مقناطیسی میدان ایک مقناطیس فراہم کرتا ہے جبکہ بڑی مشینوں میں برقی مقناطیس میدان فراہم کرتا ہے۔ اگرچہ اب تک کی اشکال میں مقناطیس کو گھومتا حصہ دکھایا گیا ہے، حقیقت میں مقناطیس کسی مشین میں گھومتا اور کسی میں ساکن ہو گا۔ میدان فراہم کرنے والا لچھا مشین کے کل برقی طاقت کے چند فی صد برابر برقی طاقت استعمال کرتا ہے۔ میدان فراہم کرنے والے اس لچھے کو میدان لچھا¹⁶ کہتے ہیں۔ اس کے برعکس مشین میں موجود دوسری نوعیت کے لچھے کو قوی لچھا¹⁷ کہتے ہیں۔ برقی جزیئر کے قوی لچھے سے برقی طاقت حاصل کی جاتی ہے۔ برقی موٹروں میں میدانی لچھے میں چند فی صد برقی طاقت کے ضیاع کے علاوہ تمام برقی طاقت قوی لچھے کو فراہم کی جاتی ہے۔

شکل 5.6 میں گھومتے اور ساکن حصہ کے بیچ خلائی درز میں شمالی قطب سے مقناطیسی بہاؤ باہر نکل کر قالب میں داخل ہوتا ہے جبکہ جنوبی قطب پر مقناطیسی بہاؤ قالب سے نکل کر جنوبی قطب میں داخل ہوتا ہے۔ شکل 5.6 میں

electromagnet¹⁴
series connected¹⁵
field coil¹⁶
armature coil¹⁷



شکل 5.7: سائن نما کثافتِ مقناطیسی بہاؤ۔



شکل 5.6: چار قطب، دو لچھے مشین میں مقناطیسی بہاؤ۔

اس مقناطیسی بہاؤ کی کثافت کو دکھایا گیا ہے۔ یوں اگر ہم اس خلائی درز میں ایک گول چکر کاٹیں تو مقناطیسی بہاؤ کا رخ دو مرتبہ باہر کی جانب اور دو مرتبہ اندر کی جانب ہو گا۔ ان مشینوں میں کوشش کی جاتی ہے کہ خلائی درز میں B سائن نما ہو۔ یہ کیسے کیا جاتا ہے، اس پر آگے غور کیا جائے گا۔ اگر تصور کر لیا جائے کہ B سائن نما ہے تب خلائی درز میں B کی مطلق قیمت شکل 5.7 کی طرح ہو گی جہاں θ_e برقی زاویہ ہے۔

P قطبی مقناطیس کے معاصر مشین کے لئے لکھ درج ذیل ہو گا۔

$$(5.7) \quad \theta_e = \frac{P}{2} \theta_m$$

$$(5.8) \quad f_e = \frac{P}{2} f_m$$

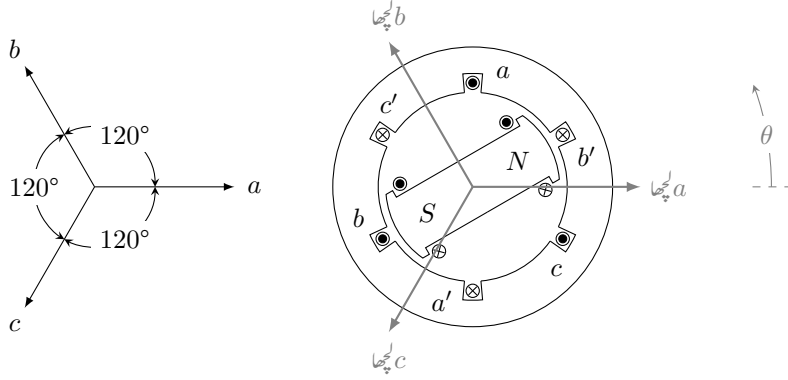
یہاں برقی اور میکانی تعدد کا تناسب 2 ہے۔

مثال 5.1: پاکستان میں گھریلو اور صنعتی صارفین کو 50 Hz کی برقی طاقت فراہم کی جاتی ہے۔ یوں ہمارے ہاں $f_e = 50$ ہو گا۔

• اگر برقی طاقت دو قطبی جنریٹر سے حاصل کی جائے تب جنریٹر کی رفتار کتنی ہو گی؟۔

• اگر جنریٹر کے میں قطب ہوں تب جنریٹر کی رفتار کتنی ہو گی؟

حل:



شکل 5.8: دو قطب، تین دوری معاصر مشین۔

- مساوات 5.8 کے تحت دو قطبی، $P = 2$ ، جزیئر کا میکانی رفتار $f_m = \frac{2}{2}(50) = 50$ چکر فی سیکنڈ یعنی 3000 چکر فی منٹ¹⁸ ہو گا۔
- بیس قطبی، $P = 20$ ، جزیئر کا میکانی رفتار $f_m = \frac{2}{20}(50) = 5$ چکر فی سیکنڈ یعنی 300 چکر فی منٹ ہو گا۔

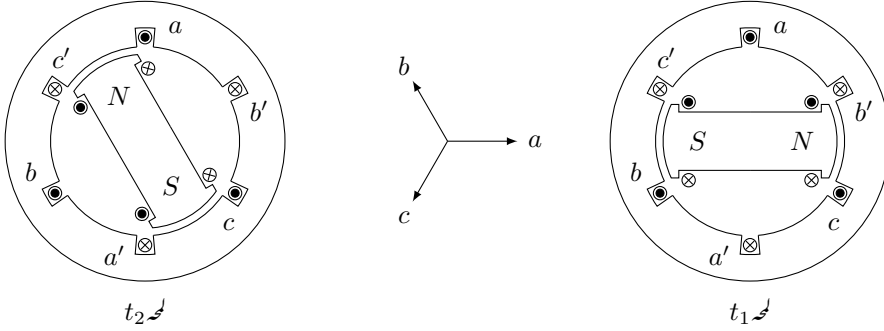
□

اب یہ فیصلہ کس طرح کیا جائے کہ جزیئر کے قطب کتنے رکھے جائیں۔ درحقیقت پانی سے چلنے والے جزیئر سست رفتار جبکہ ٹرہائن سے چلنے والے جزیئر تیز رفتار ہوتے ہیں، لہذا پانی سے چلنے والے جزیئر زیادہ قطب رکھتے ہیں جبکہ ٹرہائن سے چلنے والے جزیئر عموماً دو قطب کے ہوتے ہیں۔

شکل 5.8 میں دو قطب تین دوری معاصر مشین دکھایا گیا ہے۔ اس میں تین ساکن لچھے ہیں۔ ان میں ایک لچھا a ہے جو قالب میں شگاف a اور a' میں رکھا گیا ہے۔ اگر اس شکل میں باقی دو لچھے نہ ہوتے تب یہ بالکل شکل 5.1 میں دیا گیا مشین ہی تھا۔ البتہ دیے گئے شکل میں ایک کی بجائے تین ساکن لچھے ہیں۔

لچھے کا رخ درج ذیل طریقہ سے تعین کیا جاتا ہے۔

¹⁸rpm, rounds per minute



شکل 5.9: دو قطب تین دوری مشین۔

- دائیں ہاتھ کی چار انگلیوں کو دونوں شگافوں میں برقی رو کے رخ لپیٹیں۔ دائیں ہاتھ کا انگوٹھا لچھے کا رخ دے گا۔

شکل 5.8 میں لچھا a کا برقی رو شگاف a میں، کتاب کے صفحہ کو عمودی، باہر رخ جبکہ a' میں اس کے مخالف اندر رخ تصور کرتے ہوئے لچھا a کا رخ تیر دار لکیر سے دکھایا گیا ہے۔ اس رخ کو ہم صفر زاویہ تصور کرتے ہیں۔ یوں لچھا a صفر زاویہ پر لپیٹا گیا ہے، یعنی $\theta_a = 0^\circ$ ہے۔ باقی لچھوں کے زاویات لچھا a کے رخ سے، گھڑی کے مخالف رخ ناپے جاتے ہیں۔

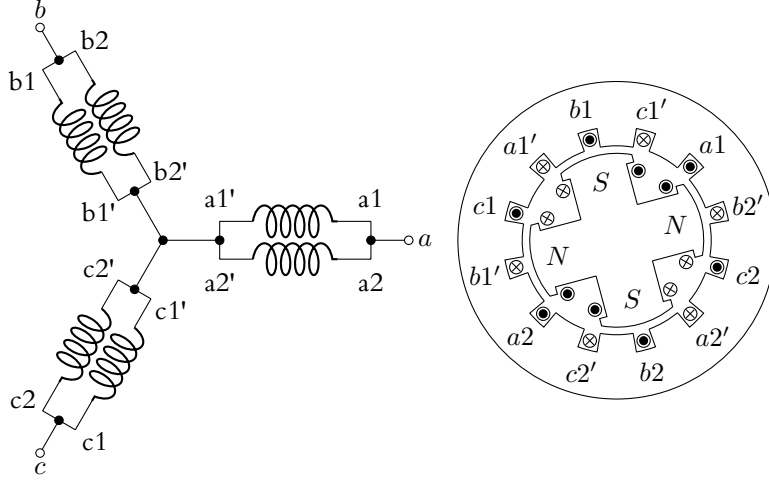
شکل 5.8 میں لچھا b کو شگاف b اور b' میں رکھا گیا ہے اور لچھا c کو شگاف c اور c' میں رکھا گیا ہے۔ مزید لچھا b کو 120° زاویہ اور لچھا c کو 240° زاویہ پر رکھا گیا ہے۔ یوں $\theta_b = 120^\circ$ اور $\theta_c = 240^\circ$ ہوں گے۔

شکل 5.9 میں اگر لمحہ t_1 پر لچھا a کا ارتباط بہاو $\lambda_a(t_1)$ ہو تب لمحہ t_2 پر، جب مقتناطیس 120° زاویہ طے کر لے، لچھا b کا ارتباط بہاو $\lambda_b(t_2)$ ہو گا۔ لمحہ t_2 پر مقتناطیس اور لچھا b ایک دوسرے کے لحاظ سے بالکل اسی طرح نظر آتے ہیں جیسے t_1 پر مقتناطیس اور لچھا a ایک دوسرے کے لحاظ سے نظر آتے تھے۔ یوں لمحہ t_2 پر لچھا b کا ارتباط بہاو اتنا ہی ہو گا جتنا لمحہ t_1 پر لچھا a کا ارتباط بہاو تھا:

$$(5.9) \quad \lambda_b(t_2) = \lambda_a(t_1)$$

اسی طرح لمحہ t_3 پر، جب مقتناطیس مزید 120° زاویہ طے کر لے، لچھا c کا ارتباط بہاو $\lambda_c(t_3)$ ہو گا جو $\lambda_a(t_1)$ کے برابر ہو گا۔ یوں درج ذیل لکھا جا سکتا ہے۔

$$(5.10) \quad \lambda_c(t_3) = \lambda_b(t_2) = \lambda_a(t_1)$$



شکل 5.10: چار قطب، تین دوری معاصر مشین۔

ان لمحات پر لچھوں کے امالی برقی دباو

$$(5.11) \quad e_a(t_1) = \frac{d\lambda_a(t_1)}{dt}$$

$$(5.12) \quad e_b(t_2) = \frac{d\lambda_b(t_2)}{dt}$$

$$(5.13) \quad e_c(t_3) = \frac{d\lambda_c(t_3)}{dt}$$

ہوں گے۔ مساوات 5.10 کی روشنی میں درج ذیل ہو گا۔

$$(5.14) \quad e_a(t_1) = e_b(t_2) = e_c(t_3)$$

اگر شکل 5.9 میں صرف لچھا a پایا جاتا تب یہ بالکل شکل 5.1 کی طرح ہوتا اور اگر ایسی صورت میں مقناطیس گھڑی کے مخالف رخ ایک مقررہ رفتار ω_0 سے گھمایا جاتا تب، جیسے پہلے تذکرہ کیا گیا ہے، لچھا a میں سائن نما برقی دباو پیدا ہوتا۔ شکل 5.9 میں کسی ایک لچھے کو کسی دوسرے لچھے پر کوئی برتری حاصل نہیں ہے۔ یوں اگر شکل 5.9 میں مقناطیس اسی طرح گھمایا جائے تب تینوں ساکن لچھوں میں سائن نما برقی دباو پیدا ہو گا البتہ مساوات 5.14 کے تحت یہ برقی دباو آپس میں 120° زاویہ پر ہوں گے۔

شکل 5.10 میں چار قطب، تین دوری معاصر مشین دکھایا گیا ہے۔ گھومتے حصے پر شمالی اور جنوبی قطبین باری باری پائے جاتے ہیں اور 180° میکانی زاویہ میں شمال اور قریبی جنوب قطب کی ایک جوڑی پائی جاتی ہے۔ یہی میکانی زاویہ 360° برقی زاویہ کے برابر ہو گا۔ شکل 5.8 میں ساکن حصہ کے 360° برقی زاویہ کے احاطہ میں تین دوری لچھے نسب ہیں جن کی اطراف کی ترتیب، گھڑی کے مخالف رخ چلتے ہوئے، a, c', b, a', c اور b' ہے۔ شکل 5.10 میں دو قطبین کے احاطہ، 180° میکانی زاویہ (یا 360° برقی زاویہ)، میں بالکل اسی طرح تین دوری لچھوں کے اطراف کی ترتیب $a_1, c_1', b_1, a_1', c_1$ اور c_1' ہے۔ باقی دو قطبین کے احاطے میں بھی بالکل اسی طرح آپ کو $a_2, c_2', b_2, a_2', c_2$ اور c_2' نظر آئیں گے۔ کسی بھی لمحہ a_1 اور a_2 لچھوں میں بالکل یکساں برقی دباؤ پیدا ہو گا۔ تین دوری دو یکساں لچھوں کو سلسلہ وار یا متوازی جوڑ کر تین دوری برقی دباؤ حاصل کا جاتا ہے۔ شکل 5.10 میں انہیں متوازی جوڑ کر دکھایا گیا ہے جہاں a لچھے کو صفر زاویہ پر تصور کیا گیا ہے۔

5.3 محرک برقی دباؤ

قانون لورینز¹⁹ کے تحت مقناطیسی میدان B میں سمتی رفتار v سے حرکت پذیر برقی بار q درج ذیل قوت F محسوس کرے گا۔

$$(5.15) \quad F = q(v \times B)$$

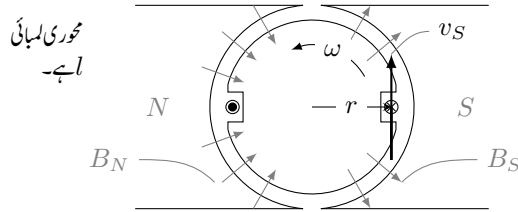
یہاں سمتی رفتار سے مراد برقی میدان کے لحاظ سے برقی بار کی سمتی رفتار ہے لہذا F کو ساکن مقناطیسی میدان میں برقی بار کی سمتی رفتار تصور کیا جاسکتا ہے۔ اس قوت کا رخ دائیں ہاتھ کے قانون سے معلوم کیا جاتا ہے۔

مقناطیسی میدان میں ابتدائی نقطہ سے اختتامی نقطہ تک، جن کے بیچ ہٹاؤ l ہے، برقی بار q منتقل کرنے کے لئے درکار کام W ہو گا:

$$(5.16) \quad W = F \cdot l = q(v \times B) \cdot l$$

اکائی مثبت برقی بار کو ایک نقطہ سے دوسرے نقطہ منتقل کرنے کے لئے درکار کام کو ان دو نقطوں کے بیچ برقی دباؤ²¹ کہتے ہیں جس کی اکائی وولٹ²² V ہے۔ یوں اس مساوات سے ان دو نقطوں کے بیچ درج ذیل برقی دباؤ ہو گا۔

$$(5.17) \quad e = \frac{W}{q} = (v \times B) \cdot l \quad \text{وولٹ}$$



شکل 5.11: ایک چکر کا لچھا متناطیسی میدان میں گھوم رہا ہے۔

حرکت کی مدد سے یوں حاصل برقی دباو کو محرک برقی دباو²³ کہتے ہیں۔ روایتی طور پر کسی بھی طریقہ سے حاصل برقی دباو کو محرک برقی دباو کہتے ہیں۔ یوں کیمیائی برقی سیل وغیرہ کا برقی دباو بھی محرک برقی دباو کہلائے گا۔

شکل 5.11 میں گھڑی کے مخالف رخ گھومتے حصہ پر ایک چکر کا لچھا نسب ہے۔ بائیں خلاء میں لچھا کی تار کے قطع پر غور کریں۔ مساوات 5.15 کے تحت بائیں قطع میں موجود مثبت برقی بار پر صفحہ کے عمودی باہر رخ قوت پیدا ہوگی جبکہ اس قطع میں موجود منفی برقی بار پر اس کے مخالف رخ قوت پیدا ہوگی۔ مساوات 5.17 کے تحت اس قطع کا بالائی سرا مثبت اور نچلا سرا منفی برقی دباو پر ہوگا۔

ہم گھومتے حصہ کی محور پر نیکی محدود قائم کرتے ہیں۔ یوں جنوبی قطب کے سامنے خلاء میں B رداسی رخ جبکہ شمالی قطب کے سامنے خلاء میں B رداس کے مخالف رخ ہوگا۔ جنوبی قطب کے سامنے شکاف میں برقی تار l_S کے لئے ہم درج ذیل لکھ سکتے ہیں۔

$$\begin{aligned} v_S &= v a_\theta = \omega r a_\theta \\ B_S &= B a_r \\ l_S &= l a_z \end{aligned} \quad (5.18)$$

یوں جنوبی قطب کے سامنے تار کے قطع میں درج ذیل محرک برقی دباو پیدا ہوگا۔

$$\begin{aligned} e &= (v \times B) \cdot l \\ &= \omega r B l (a_\theta \times a_r) \cdot a_z \\ &= \omega r B l (-a_z) \cdot a_z \\ &= -\omega r B l \end{aligned} \quad (5.19)$$

Lorentz law¹⁹
charge²⁰
potential difference, voltage²¹
volt²²
electromotive force, emf²³

جنوبی مقناطیسی قطب کے سامنے شگاف میں برقی تار کی لمبائی کا رخ a_z لیا گیا۔ اس مساوات میں برقی دباؤ منفی ہونے کا مطلب ہے کہ برقی تار کا مثبت سر تار پر $-a_z$ رخ ہے یعنی تار کا نچلا سرا مثبت اور بالائی سرا منفی ہے۔ اگر اس تار میں رو گزر سکے تو اس رو کا رخ $-a_z$ یعنی صفحہ کو عمودی اندر رخ ہو گا جسے شکل 5.11 میں شگاف میں دائرہ کے اندر صلیبی نشان سے ظاہر کیا گیا ہے۔

اسی طرح شمالی مقناطیسی قطب کے سامنے شگاف میں موجود برقی تار کے لئے ہم درج ذیل لکھ سکتے ہیں۔

$$\begin{aligned} v_N &= v a_\theta = \omega r a_\theta \\ B_N &= -B a_r \\ l_N &= l a_z \end{aligned} \quad (5.20)$$

یوں اس قطع میں درج ذیل دباؤ ہو گا۔

$$\begin{aligned} e_N &= (v_N \times B_N) \cdot l_N \\ &= -\omega r B l (a_\theta \times a_r) \cdot a_z \\ &= -\omega r B l (-a_z) \cdot a_z \\ &= \omega r B l \end{aligned} \quad (5.21)$$

شمالی مقناطیسی قطب کے سامنے شگاف میں برقی تار کی لمبائی کا رخ a_z لیا گیا ہے۔ اس مساوات میں برقی دباؤ مثبت ہونے کا مطلب ہے کہ برقی تار کا مثبت سر تار پر a_z رخ ہو گا یعنی تار کا بالائی سرا مثبت اور نچلا سرا منفی ہو گا۔ اگر اس تار میں رو گزر سکے تو اس کا رخ a_z یعنی صفحہ کو عمودی باہر رخ ہو گا جسے شکل 5.11 میں شگاف میں دائرہ کے اندر نقطہ کے نشان سے دکھایا گیا ہے۔

یہ دونوں تار مل کر ایک چکر کا لچھا بناتے ہیں۔ ان تاروں کے نچلے سر ایک دوسرے کے ساتھ سلسلہ وار جڑے ہیں جس کو شکل میں نہیں دکھایا گیا۔ یوں اس لچھے کے بالائی، نظر آنے والے، سروں پر کل برقی دباؤ e ان دو برقی تاروں میں پیدا برقی دباؤ کا مجموعہ ہو گا:

$$\begin{aligned} e &= 2rlB\omega \\ &= AB\omega \end{aligned} \quad (5.22)$$

یہاں لچھے کا رقبہ $A = 2rl$ ہے۔ اگر ایک چکر سے اتنا برقی دباؤ حاصل ہو تب N چکر کے لچھے سے درج ذیل دباؤ حاصل ہو گا جہاں $\phi = AB$ مقناطیسی بہاؤ ہے۔

$$\begin{aligned} e &= \omega NAB \\ &= 2\pi f NAB \\ &= 2\pi f N\phi \end{aligned} \quad (5.23)$$

گھومتی مشینوں کی خلائی درز میں B اور v ہر لمحہ ایک دوسرے کے عمودی ہوتے ہیں۔ مساوات 5.17 کے تحت مستقل زاویائی رفتار اور محوری لمبائی کی صورت میں پیدا کردہ برقی دباؤ ہر لمحہ B کا براہ راست متناسب ہو گا۔ خلائی درز میں زاویہ کے ساتھ تبدیل ہوتے ہوئے B کی صورت میں گھومتے لچھے میں پیدا برقی دباؤ بھی زاویہ کے ساتھ تبدیل ہو گا۔ یوں جس شکل کا برقی دباؤ درکار ہو اسی شکل کی کثافت مقناطیسی دباؤ خلائی درز میں پیدا کرنی ہو گی۔ سائن نما برقی دباؤ پیدا کرنے کے لئے خلائی درز میں سائن نما کثافت مقناطیسی بہاؤ درکار ہو گی۔

اگلے حصے میں خلائی درز میں ضرورت کے تحت B پیدا کرنے کی ترکیب بتلائی جائے گی۔

5.4 پھیلے لچھے اور سائن نما مقناطیسی دباؤ

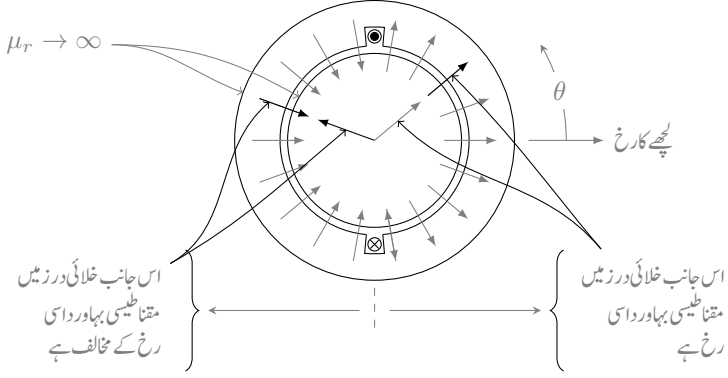
ہم نے اب تک جتنے مشین دیکھے ان سب میں کچھ²⁴ لچھے دکھائے گئے۔ مزید ان مشینوں میں گھومتے حصے پر موجود مقناطیس کے ابھرے قطب²⁵ تھے۔ عموماً حقیقی مشینوں کے ہموار قطب²⁶ اور پھیلے لچھے²⁷ ہوتے ہیں جن کی بنا سائن اور گھومتے حصوں کے بیچ خلائی درز میں سائن نما مقناطیسی دباؤ اور سائن نما کثافت مقناطیسی بہاؤ پیدا کرنا ممکن ہوتا ہے۔

شکل 5.12 میں ایک کچھ لچھا دکھایا گیا ہے جہاں مشین کے گھومتے حصے کا عمودی تراش گول صورت کا ہے۔ متحرک اور ساکن قالب کا $\mu_r \rightarrow \infty$ ہے۔ لچھے کا مقناطیسی دباؤ $\tau = Ni$ ، مقناطیسی بہاؤ ϕ پیدا کرتا ہے جس کو ہلکی سپاہی کی لکیروں سے ظاہر کیا گیا ہے۔ مقناطیسی بہاؤ خلائی درز میں سے دو مرتبہ گزرتا ہوا لچھے کے گرد ایک چکر کاٹتا ہے لہذا درج ذیل ہو گا۔

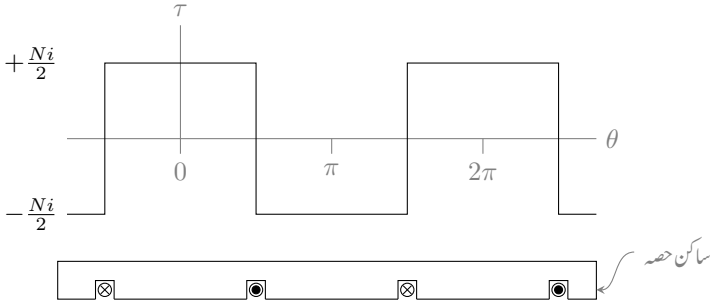
$$(5.24) \quad \tau = Ni = 2Hl_a$$

یوں ساکن لچھے کے مقناطیسی دباؤ کا آدھا حصہ ایک خلائی درز اور آدھا حصہ دوسرے خلائی درز میں مقناطیسی بہاؤ پیدا کرتا ہے۔ مزید آدھے خلائی درز میں مقناطیسی دباؤ (اور مقناطیسی بہاؤ) رداسی رخ اور باقی خلائی درز میں رداس کے

non-distributed coils²⁴
salient poles²⁵
non-salient poles²⁶
distributed winding²⁷



شکل 5.12: ساکن لچھا گچھ شکل کا ہے۔



شکل 5.13: گچھ لچھے کی خلائی درز میں مقناطیسی دباؤ۔

مخالف رخ ہے۔ ہم رداسی رخ کو مثبت تصور کرتے ہیں۔ چونکہ مقناطیسی بہاؤ (اور مقناطیسی دباؤ) $-\frac{\pi}{2} < \theta < \frac{\pi}{2}$ کے درمیان رداسی رخ ہے لہذا اسے مثبت تصور کیا جائے گا جبکہ باقی حصہ پر مقناطیسی دباؤ (اور مقناطیسی بہاؤ) رداس کے مخالف رخ ہے لہذا اسے منفی تصور کیا جائے گا۔ شکل 5.13 میں خلائی درز میں مقناطیسی دباؤ کو زاویہ کے ساتھ ترسیم کیا گیا ہے۔ وقفہ $-\frac{\pi}{2} < \theta < \frac{\pi}{2}$ کے خلائی درز میں مقناطیسی دباؤ τ_a لچھے کے مقناطیسی دباؤ τ کا آدھا ہے اور اس کا رخ مثبت ہے جبکہ وقفہ $\frac{\pi}{2} < \theta < \frac{3\pi}{2}$ کے خلائی درز میں مقناطیسی دباؤ لچھے کے مقناطیسی دباؤ کا آدھا اور منفی رخ ہے۔ یاد رہے مقناطیسی دباؤ کا رخ رداسی رخ کے حوالہ سے تعین کیا جاتا ہے۔

5.4.1 بدلتا رو والے مشین

بدلتا رو (اے سی) مشین بناتے وقت کوشش کی جاتی ہے کہ خلائی درز میں مقناطیسی دباؤ سائن نما ہو۔ سائن نما مقناطیسی دباؤ کے حصول کی خاطر لچھوں کو ایک سے زیادہ شگافوں میں تقسیم کیا جاتا ہے۔ ایسا کرنے سے سائن نما مقناطیسی دباؤ کیسے حاصل ہوتا ہے، اس بات کی یہاں وضاحت کی جائے گی۔

فوریر تسلسل²⁸ کے تحت ہم کسی بھی تفاعل²⁹ $f(\theta_p)$ کو درج ذیل صورت میں لکھ سکتے ہیں۔

$$(5.25) \quad f(\theta_p) = \sum_{n=0}^{\infty} (a_n \cos n\theta_p + b_n \sin n\theta_p)$$

تفاعل کا دوری عرصہ³⁰ T ہونے کی صورت میں فوریر تسلسل کے عددی سر درج ذیل ہوں گے۔

$$(5.26) \quad \begin{aligned} a_0 &= \frac{1}{T} \int_{-T/2}^{T/2} f(\theta_p) d\theta_p \\ a_n &= \frac{2}{T} \int_{-T/2}^{T/2} f(\theta_p) \cos n\theta_p d\theta_p \\ b_n &= \frac{2}{T} \int_{-T/2}^{T/2} f(\theta_p) \sin n\theta_p d\theta_p \end{aligned}$$

مثال 5.2: شکل 5.13 میں دیے گئے مقناطیسی دباؤ کا

Fourier series²⁸
function²⁹
time period³⁰

- فوریر تسلسل حاصل کریں،
- تیسری موسیقائی جزو³¹ اور بنیادی جزو³² کا تناسب معلوم کریں۔

حل:

- مساوات 5.26 کی مدد سے

$$\begin{aligned}
 a_0 &= \frac{1}{2\pi} \left[\int_{-\pi}^{-\pi/2} \left(-\frac{Ni}{2} \right) d\theta_p + \int_{-\pi/2}^{\pi/2} \left(\frac{Ni}{2} \right) d\theta_p + \int_{\pi/2}^{\pi} \left(-\frac{Ni}{2} \right) d\theta_p \right] \\
 &= \frac{1}{2\pi} \left[\left(-\frac{Ni}{2} \right) \left(-\frac{\pi}{2} + \pi \right) + \left(\frac{Ni}{2} \right) \left(\frac{\pi}{2} + \frac{\pi}{2} \right) + \left(-\frac{Ni}{2} \right) \left(\pi - \frac{\pi}{2} \right) \right] \\
 &= 0
 \end{aligned}$$

اور درج ذیل حاصل ہوں گے۔

$$\begin{aligned}
 a_n &= \frac{2}{2\pi} \frac{Ni}{2} \left[\int_{-\pi}^{-\pi/2} -\cos n\theta_p d\theta_p + \int_{-\pi/2}^{\pi/2} \cos n\theta_p d\theta_p + \int_{\pi/2}^{\pi} -\cos n\theta_p d\theta_p \right] \\
 &= \frac{Ni}{2\pi} \left[-\frac{\sin n\theta_p}{n} \Big|_{-\pi}^{-\pi/2} + \frac{\sin n\theta_p}{n} \Big|_{-\pi/2}^{\pi/2} - \frac{\sin n\theta_p}{n} \Big|_{\pi/2}^{\pi} \right] \\
 &= \frac{Ni}{2n\pi} \left[\sin \frac{n\pi}{2} + 2 \sin \frac{n\pi}{2} + \sin \frac{n\pi}{2} \right] \\
 &= \left(\frac{4}{n\pi} \right) \left(\frac{Ni}{2} \right) \sin \frac{n\pi}{2}
 \end{aligned}$$

اس مساوات میں n کی قیمت ایک، دو، تین لیتے ہوئے درج ذیل حاصل ہوتا ہے۔

$$\begin{aligned}
 a_1 &= \left(\frac{4}{\pi} \right) \left(\frac{Ni}{2} \right), \quad a_3 = - \left(\frac{4}{3\pi} \right) \left(\frac{Ni}{2} \right), \quad a_5 = \left(\frac{4}{5\pi} \right) \left(\frac{Ni}{2} \right) \\
 a_2 &= a_4 = a_6 = 0
 \end{aligned}$$

³¹ third harmonic component
³² fundamental component

اسی طرح درج ذیل ہو گا۔

$$\begin{aligned}
 b_n &= \frac{2}{2\pi} \frac{Ni}{2} \left[\int_{-\pi}^{-\pi/2} -\sin n\theta_p d\theta_p + \int_{-\pi/2}^{\pi/2} \sin n\theta_p d\theta_p + \int_{\pi/2}^{\pi} -\sin n\theta_p d\theta_p \right] \\
 &= \frac{Ni}{2\pi} \left[\frac{\cos n\theta_p}{n} \Big|_{-\pi}^{-\pi/2} - \frac{\cos n\theta_p}{n} \Big|_{-\pi/2}^{\pi/2} + \frac{\cos n\theta_p}{n} \Big|_{\pi/2}^{\pi} \right] \\
 &= 0
 \end{aligned}$$

• ان نتائج کا یکجا کرتے ہیں:

$$\left| \frac{a_3}{a_1} \right| = \frac{\left(\frac{4}{3\pi} \right) \left(\frac{Ni}{2} \right)}{\left(\frac{4}{\pi} \right) \left(\frac{Ni}{2} \right)} = \frac{1}{3}$$

□ یوں تیسرا موسیقائی جزو بنیادی جزو کا تیسرا حصہ یعنی 33.33 فی صد ہو گا۔

مثال 5.2 میں حاصل کردہ a_1, a_2, \dots استعمال کرتے ہوئے ہم خلائی درز میں مقناطیسی دباؤ τ کا فوریر تسلسل لکھتے ہیں۔

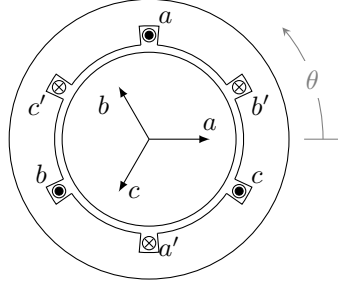
$$(5.27) \quad \tau_a = \frac{4}{\pi} \frac{Ni}{2} \cos \theta_p - \frac{4}{3\pi} \frac{Ni}{2} \cos 3\theta_p + \frac{4}{5\pi} \frac{Ni}{2} \cos 5\theta_p + \dots$$

مثال 5.2 کے مقناطیسی دباؤ کے موسیقائی اجزاء کی قیمتیں اتنی کم نہیں کہ انہیں رد کیا جاسکے۔ جیسا آپ اس باب میں آگے دیکھیں گے حقیقی مقناطیسی دباؤ کے موسیقائی اجزاء قابل نظر انداز ہوں گے اور ہمیں صرف بنیادی جزو سے غرض ہو گا۔ اسی حقیقت کو مد نظر رکھتے ہوئے ہم تسلسل کے موسیقائی اجزاء کو نظر انداز کرتے ہوئے مساوات 5.27 سے

$$(5.28) \quad \tau_a = \frac{4}{\pi} \frac{Ni}{2} \cos \theta_p = \tau_0 \cos \theta_p$$

لکھتے ہیں جہاں τ_0 درج ذیل ہے۔

$$(5.29) \quad \tau_0 = \frac{4}{\pi} \frac{Ni}{2}$$



شکل 5.14: تین دور لچھے۔

خلائی درج میں τ ، H اور B ایک دوسرے کے برائے راست متناسب ہوتے ہیں۔ یوں مساوات 5.28 کے تحت شکل 5.12 کا لچھے اور شکل 5.2 میں صفر زاویہ پر سلاخ نما مقناطیس یکساں τ (اور B) دیں گے۔ اسی طرح اگر شکل 5.12 کا لچھا زاویہ θ_m پر ہوتا تب ہمیں شکل 5.3 میں موجود مقناطیس کے نتائج حاصل ہوتے۔ شکل 5.14 میں تین لچھے آپس میں 120° زاویہ پر دکھائے گئے ہیں۔ ہم مساوات 5.64 کی طرح اس شکل میں لچھا a کے لئے درج ذیل لکھ سکتے ہیں۔

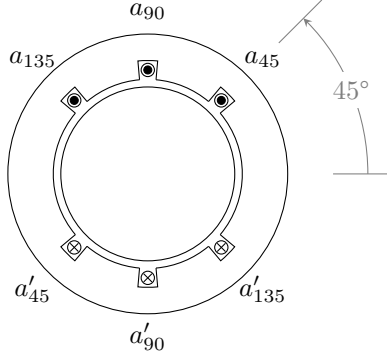
$$\begin{aligned}
 \tau_a &= \tau_0 \cos \theta_{pa} \\
 \theta_{pa} &= \theta - \theta_{ma} = \theta - 0^\circ \\
 \tau_a &= \tau_0 \cos(\theta - \theta_m) = \tau_0 \cos \theta
 \end{aligned}
 \quad (5.30)$$

اسی طرح لچھا b اور c جو بالترتیب $\theta_{mb} = 120^\circ$ اور $\theta_{mc} = 240^\circ$ زاویہ پر ہیں کے لئے درج ذیل ہو گا۔

$$\begin{aligned}
 \tau_b &= \tau_0 \cos \theta_{pb} \\
 \theta_{pb} &= \theta - \theta_{mb} = \theta - 120^\circ \\
 \tau_b &= \tau_0 \cos(\theta - \theta_{mb}) = \tau_0 \cos(\theta - 120^\circ)
 \end{aligned}
 \quad (5.31)$$

$$\begin{aligned}
 \tau_c &= \tau_0 \cos \theta_{pc} \\
 \theta_{pc} &= \theta - \theta_{mc} = \theta - 240^\circ \\
 \tau_c &= \tau_0 \cos(\theta - \theta_{mc}) = \tau_0 \cos(\theta - 240^\circ) = \tau_0 \cos(\theta + 120^\circ)
 \end{aligned}
 \quad (5.32)$$

اگرچہ ظاہری طور پر خلائی درز میں مقناطیسی دباؤ سائن نما ہر گز نہیں لگتا لیکن مساوات 5.27 ہمیں بتلاتی ہے کہ یہ محض نظر کا دھوکا ہے۔ اس مقناطیسی دباؤ کا بیشتر حصہ سائن نما ہی ہے۔ اگر ہم کسی طرح مساوات 5.27 میں پہلے رکن کے علاوہ باقی تمام ارکان کو صفر کر سکیں تب ہمیں سائن نما مقناطیسی دباؤ حاصل ہو گا۔



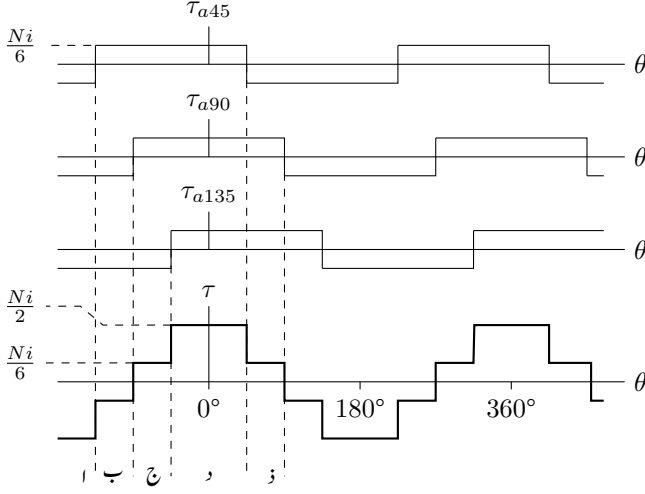
شکل 5.15: پھیلا لچھا۔

شکل 5.12 کے N چکر لچھے کو تین چھوٹے یکساں لچھوں میں تقسیم کرتے ہوئے شکل 5.15 حاصل کیا گیا ہے جہاں ہر چھوٹا لچھا $\frac{N}{3}$ چکر کا ہے۔ ایسے چھوٹے لچھوں کو سلسلہ وار جوڑا³³ جاتا ہے لہذا ان میں ایک جیسا برقی رو i گزرے گا۔ ان تین لچھوں کو تین مختلف شگافوں میں رکھا گیا ہے۔ پہلے لچھے کو شگاف a_{45} اور a'_{45} میں رکھا گیا ہے۔ دوسرے لچھے کو شگاف a_{90} اور a'_{90} میں اور تیسرے لچھے کو شگاف a_{135} اور a'_{135} میں رکھا گیا ہے۔

شگافوں کے ایک جوڑا کو ایک ہی طرح کے نام دیے گئے ہیں، البتہ ایک شگاف کو a اور دوسرے کو a' نام دیا گیا ہے۔ یوں شگافوں کا پہلے جوڑا a_{45} اور a'_{45} ہے۔ شگاف کا نام شگاف کے زاویہ کے لحاظ سے رکھا گیا ہے۔ یوں شگاف a_{45} درحقیقت 45° زاویہ پر ہے، شگاف a_{90} نوے درجہ زاویہ پر اور شگاف a_{135} ایک سو پینتیس درجہ زاویہ پر ہے۔ اسی طرح a'_{45} شگاف a_{45} کا جوڑا ہے۔

تمام لچھے $\frac{N}{3}$ چکر کے ہیں اور تمام لچھوں میں برقی رو i ایک دوسرے جیسا ہے۔ شکل 5.15 کے پھیلے لچھے کا مقناطیسی دباو بالمقابل زاویہ کا ترسیم شکل 5.16 میں موٹی لکیر سے دکھایا گیا ہے۔ سب سے اوپر لچھا a_{45} کے مقناطیسی دباو کی ترسیم ہے جو شکل 5.13 کی ترسیم کی طرح لیکن صفر زاویہ سے 45° ہٹ کر ہے۔ دوسری ترسیم لچھا a_{90} کی ہے جو ہو بہو شکل 5.13 کی طرح ہے جبکہ تیسری ترسیم لچھا a_{135} کی ہے جو صفر زاویہ سے 45° ہٹ کر ہے۔ ان تینوں ترسیمات کا انفرادی طول $\frac{Ni}{6}$ ہے۔

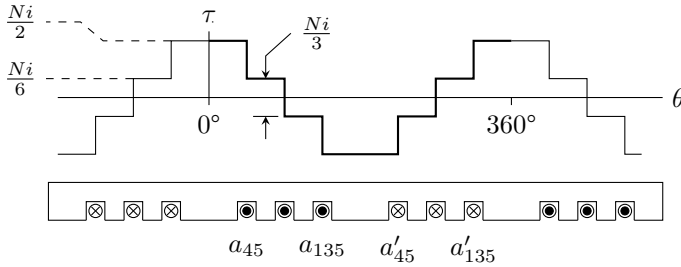
ترسیمات $\tau_{a_{45}}$ ، $\tau_{a_{90}}$ اور $\tau_{a_{135}}$ سے کل مقناطیسی دباو کی ترسیم τ حاصل کرنا سیکھتے ہیں۔ شکل 5.16 میں عمودی نقطہ دار لکیریں لگائی گئی ہیں۔ سب سے بائیں پہلی لکیر کی بائیں طرف خطہ کو "1" کہا گیا ہے۔ اس



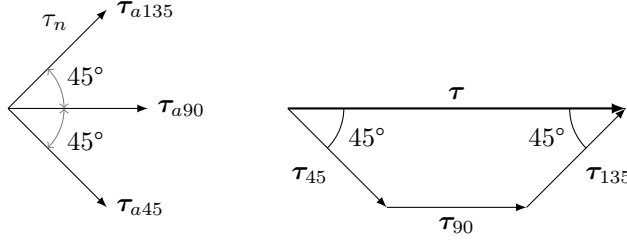
شکل 5.16: پہلے لچے کا کل مقناطیسی دباؤ۔

خطہ میں ترسیمات τ_{a45} ، τ_{a90} اور τ_{a135} کی انفرادی قیمتیں $-\frac{Ni}{6}$ ہیں لہذا ان کا مجموعہ $-\frac{Ni}{2}$ ہو گا۔ یوں خطہ "ا" میں کل مقناطیسی دباؤ τ کی ترسیم کی قیمت $-\frac{Ni}{2}$ ہو گی۔ اسی طرح خطہ "ب" میں τ_{a45} کی قیمت $+\frac{Ni}{6}$ ، τ_{a90} کی $-\frac{Ni}{6}$ اور τ_{a135} کی بھی $-\frac{Ni}{6}$ ہے۔ ان کا مجموعہ $-\frac{Ni}{6}$ ہے جو کل مقناطیسی دباؤ τ ہو گا۔ خطہ "ج" میں بالائی تینوں ترسیمات کی قیمتیں بالترتیب $+\frac{Ni}{6}$ ، $+\frac{Ni}{6}$ اور $-\frac{Ni}{6}$ ہیں جن کا مجموعہ $+\frac{Ni}{6}$ کل مقناطیسی دباؤ ہو گا۔ اسی طرح آپ پوری ترسیم کھینچ سکتے ہیں۔

شکل 5.16 کی τ کو شکل 5.17 میں دوبارہ پیش کیا ہے۔ شکل 5.17 پہلے لچے اور شکل 5.13 گچھ لچے



شکل 5.17: پہلے لچے کا مقناطیسی دباؤ۔



شکل 5.18: پھیلے لچھے کا جزو پھیلاؤ۔

کے دباؤ کی ترسیمات ہیں۔ شکل 5.13 کے لحاظ سے شکل 5.17 کی صورت سائن نما کے زیادہ قریب ہے۔ فوریزر تسلسل حل کرنے سے بھی یہی نتیجہ حاصل ہوتا ہے۔ شگافوں کے مقامات اور ان میں لچھوں کے چکر یوں رکھے جا سکتے ہیں کہ ان کے پیدا کردہ مقناطیسی دباؤ کی ترسیم سائن نما کی زیادہ سے زیادہ قریب ہو۔

پھیلے لچھے کے مختلف حصے ایک ہی زاویہ پر مقناطیسی دباؤ نہیں بناتے لہذا ان سے حاصل کل مقناطیسی دباؤ کا حیثہ (اتنے ہی چکر کے) ایک گچھ لچھے کے حیثہ سے کم ہوتا ہے۔ مساوات 5.29 میں اس اثر کو شامل کرنے کے لئے جزو k_w متعارف کیا جاتا ہے

$$\begin{aligned} \tau_0 &= k_w \frac{4 Ni}{\pi} \frac{1}{2} \\ \tau_a &= k_w \frac{4 Ni}{\pi} \frac{1}{2} \cos \theta = \tau_0 \cos \theta \end{aligned} \quad (5.33)$$

جہاں k_w جزو پھیلاؤ³⁴ کہلاتا ہے۔ جزو پھیلاؤ کی قیمت اکائی سے کم ہوتی ہے۔

$$0 < k_w < 1 \quad (5.34)$$

مثال 5.3: شکل 5.15 کے پھیلے لچھے کا k_w تلاش کریں۔

حل: شکل 5.18 سے رجوع کریں۔ شکل 5.15 کے تین چھوٹے لچھے ایک جیسا مقناطیسی دباؤ $\tau_n = \frac{4 ni}{\pi} \frac{1}{2}$ پیدا کرتے ہیں البتہ ان کے رخ مختلف ہیں۔ یہاں ایک لچھا $\frac{N}{3}$ چکر کا ہے لہذا $n = \frac{N}{3}$ ہو گا۔ ہم تینوں مقناطیسی دباؤ کے دوری سمتیت کا مجموعہ لے کر مقناطیسی دباؤ τ معلوم کرتے ہیں۔

$$\begin{aligned} \tau_a &= \tau_n \cos 45^\circ + \tau_n + \tau_n \cos 45^\circ \\ &= 2.4142 \tau_n \end{aligned}$$

winding factor³⁴

یوں درج ذیل ہو گا

$$\tau_a = 2.4142 \frac{4}{\pi} \frac{Ni}{2} = \frac{2.4142}{3} \frac{4}{\pi} \frac{Ni}{2} = 0.8047 \frac{4}{\pi} \frac{Ni}{2}$$

□

لہذا $k_w = 0.8047$ کے برابر ہے۔

مثال 5.4: تین دوری، 50 ہرٹز، ستارہ جڑے جزیئر کو 3000 چکر فی منٹ کی رفتار سے چلایا جاتا ہے۔ تیس چکر کے میدانی لچھے کا جزو پھیلاؤ $k_{w,m} = 0.9$ جبکہ پندرہ چکر قوی لچھے کا جزو پھیلاؤ $k_{w,q} = 0.833$ ہے۔ مشین کا رداس 0.7495 میٹر اور لمبائی $l = 2.828$ میٹر ہے۔ خلائی درز کی لمبائی $l_k = 0.04$ میٹر ہے۔ میدانی لچھے میں 1000 ایمپیسر برقی رو کی صورت میں درج ذیل تلاش کریں۔

- میدانی مقناطیسی دباؤ کی زیادہ سے زیادہ قیمت۔
- خلائی درز میں کثافت مقناطیسی بہاؤ۔
- ایک قطب پر مقناطیسی بہاؤ۔
- متحرک تار پر برقی دباؤ۔

حل:

$$\tau_0 = k_{w,m} \frac{4}{\pi} \frac{N_m i_m}{2} = 0.9 \times \frac{4}{\pi} \times \frac{30 \times 1000}{2} = 17186 \text{ A} \cdot \text{turns/m}$$

$$B_0 = \mu_0 H_0 = \mu_0 \frac{\tau_0}{l_k} = 4\pi 10^{-7} \times \frac{17186}{0.04} = 0.54 \text{ T}$$

$$\phi_0 = 2B_0 l r = 2 \times 0.54 \times 2.828 \times 0.7495 = 2.28915 \text{ Wb}$$

•

$$\begin{aligned} E_{rms} &= 4.44 f k_{w,q} N_q \phi_0 \\ &= 4.44 \times 50 \times 0.833 \times 15 \times 2.28915 \\ &= 6349.85 \text{ V} \end{aligned}$$

یوں ستارہ جڑی جزیر کی تار کا برقی دباو درج ذیل ہو گا۔

$$\sqrt{3} \times 6349.85 \approx 11\,000\text{ V}$$

□

ہم سائن نما مقتنا طیسی دباو حاصل کرنا چاہتے ہیں۔ چھوٹے لچھوں کے چکر اور شگافوں کے مقامات یوں چنے جاتے ہیں کہ یہ مقصد پورا ہو۔ شکل 5.17 میں صفر زاویہ کے دونوں اطراف مقتنا طیسی دباو کی ترسیم ایک جیسے گھٹتی یا بڑھتی ہے۔ مثلاً جمع اور منفی پینتالیس زاویہ پر مقتنا طیسی دباو $\frac{Ni}{3}$ گھٹتا ہے۔ اسی طرح جمع اور منفی نوے زاویہ پر دباو مزید $\frac{Ni}{3}$ گھٹتا ہے، وغیرہ وغیرہ۔ یہ ایک بنیادی اصول ہے جس کا خیال رکھنا ضروری ہے۔

چھوٹے لچھوں کے چکر اور شگافوں کے مقامات کا فیصلہ فوریر تسلسل کی مدد سے کیا جاتا ہے۔ فوریر تسلسل میں موسیقائی جزو کم سے کم اور بنیادی جزو زیادہ سے زیادہ رکھا جاتا ہے۔

ساکن لچھوں کی طرح متحرک لچھوں کو بھی ایک سے زیادہ چھوٹے لچھوں میں تقسیم کیا جاتا ہے تاکہ سائن نما مقتنا طیسی دباو حاصل ہو۔

5.5 مقتنا طیسی دباو کی گھومتی امواج

گھومتے مشین کے لچھوں کو برقی دباو فراہم کیا جاتا ہے جس سے اس کا گھومنے والا حصہ حرکت میں آتا ہے۔ یہاں ہم اس بات کا مطالعہ کرتے ہیں کہ گھومنے کی حرکت کیسے پیدا ہوتی ہے۔

5.5.1 ایک دور کی لپٹی مشین

مساوات 5.33 میں ایک لچھے کا مقتنا طیسی دباو

$$(5.35) \quad \tau_a = k_w \frac{4}{\pi} \frac{Ni}{2} \cos \theta$$

دیا گیا ہے جو سائن نما برقی رو

$$(5.36) \quad i_a = I_0 \cos \omega t$$

کی صورت میں

$$(5.37) \quad \tau_a = k_w \frac{4 N I_0}{\pi} \cos \theta \cos \omega t = \tau_0 \cos \theta \cos \omega t$$

مقناطیسی دباؤ دے گا جہاں τ_0 درج ذیل ہے اور لچکا کے برقی رو کو i_a کہا گیا ہے۔

$$(5.38) \quad \tau_0 = k_w \frac{4 N I_0}{\pi} \frac{2}{2}$$

مساوات 5.37 کہتی ہے کہ مقناطیسی دباؤ زاویہ θ اور لمحہ t کے ساتھ تبدیل ہوتا ہے۔ مساوات 5.37 کو کلیہ

$$(5.39) \quad \cos \alpha \cos \beta = \frac{\cos(\alpha + \beta) + \cos(\alpha - \beta)}{2}$$

کی مدد سے دو ٹکڑوں

$$(5.40) \quad \tau_a = \tau_0 \left[\frac{\cos(\theta + \omega t) + \cos(\theta - \omega t)}{2} \right] = \tau_a^- + \tau_a^+$$

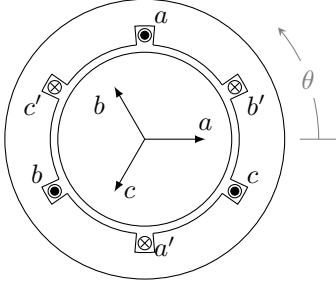
میں تقسیم کیا جا سکتا ہے جہاں τ_a^- اور τ_a^+ درج ذیل ہوں گے۔

$$(5.41) \quad \tau_a^- = \frac{\tau_0}{2} \cos(\theta + \omega t)$$

$$(5.42) \quad \tau_a^+ = \frac{\tau_0}{2} \cos(\theta - \omega t)$$

مساوات 5.40 کہتی ہے کہ مقناطیسی دباؤ دو آپس میں مخالف رخ گھومتے مقناطیسی دباؤ کی موجوں کا مجموعہ ہے۔ اس کا پہلا جزو τ_a^- زاویہ θ گھٹنے کے رخ، یعنی گھڑی کے رخ، گھومتا ہے جبکہ اس کا دوسرا جزو τ_a^+ گھڑی کے مخالف رخ، زاویہ بڑھنے کے رخ، گھومتا ہے۔

ایک دور کی لپٹی مشینوں میں گھومتے مقناطیسی دباؤ کی امواج میں سے کسی ایک کو بالکل ختم یا کم سے کم کرنے کی کوشش کی جاتی ہے۔ اس طرح ایک ہی رخ مقناطیسی دباؤ گھومتا ملے گا جو بالکل ایک گھومتے ہوئے مقناطیس کی مانند ہوگا۔ تین دوری مشینوں میں ایسا کرنا نہایت آسان ہوتا ہے لہذا انہیں پہلے سمجھ لینا زیادہ بہتر ہوگا۔



$$\begin{aligned}\tau_a &= \tau_0 \cos(\omega t + \theta_0) \cos(\theta) \\ \tau_b &= \tau_0 \cos(\omega t + \theta_0 - 120^\circ) \cos(\theta - 120^\circ) \\ \tau_c &= \tau_0 \cos(\omega t + \theta_0 + 120^\circ) \cos(\theta + 120^\circ)\end{aligned}$$

شکل 5.19: تین دور کی لپٹی مشین۔

5.5.2 تین دور کی لپٹی مشین کا تحلیلی تجزیہ

شکل 5.19 میں تین دور کی لپٹی مشین دکھائی گئی ہے۔ مساوات 5.30، 5.31 اور 5.32 میں ایسے تین لچھوں کے فوریزر تسلسل کے بنیادی اجزاء دیے گئے ہیں جن میں جزو پھیلاؤ k_x شامل کر کے دوبارہ پیش کرتے ہیں۔

$$\begin{aligned}\tau_a &= k_w \frac{4}{\pi} \frac{N_a i_a}{2} \cos \theta \\ \tau_b &= k_w \frac{4}{\pi} \frac{N_b i_b}{2} \cos(\theta - 120^\circ) \\ \tau_c &= k_w \frac{4}{\pi} \frac{N_c i_c}{2} \cos(\theta + 120^\circ)\end{aligned}\tag{5.43}$$

ان لچھوں میں بالترتیب تین دوری برقی رو

$$\begin{aligned}i_a &= I_0 \cos(\omega t + \alpha) \\ i_b &= I_0 \cos(\omega t + \alpha - 120^\circ) \\ i_c &= I_0 \cos(\omega t + \alpha + 120^\circ)\end{aligned}\tag{5.44}$$

لینے سے مساوات 5.43 درج ذیل صورت اختیار کرتی ہیں۔

$$\begin{aligned}\tau_a &= k_w \frac{4}{\pi} \frac{N_a I_0}{2} \cos \theta \cos(\omega t + \alpha) \\ \tau_b &= k_w \frac{4}{\pi} \frac{N_b I_0}{2} \cos(\theta - 120^\circ) \cos(\omega t + \alpha - 120^\circ) \\ \tau_c &= k_w \frac{4}{\pi} \frac{N_c I_0}{2} \cos(\theta + 120^\circ) \cos(\omega t + \alpha + 120^\circ)\end{aligned}\tag{5.45}$$

تینوں لچھوں کے چکر ایک دوسرے کے برابر

$$N_a = N_b = N_c = N$$

لیتے ہوئے مساوات 5.39 کی استعمال سے

$$(5.46) \quad \begin{aligned} \tau_a &= \frac{\tau_0}{2} [\cos(\theta + \omega t + \alpha) + \cos(\theta - \omega t - \alpha)] \\ \tau_b &= \frac{\tau_0}{2} [\cos(\theta + \omega t + \alpha - 240^\circ) + \cos(\theta - \omega t - \alpha)] \\ \tau_c &= \frac{\tau_0}{2} [\cos(\theta + \omega t + \alpha + 240^\circ) + \cos(\theta - \omega t - \alpha)] \end{aligned}$$

لکھ جاسکتے ہیں جہاں τ_0 درج ذیل ہے۔

$$(5.47) \quad \tau_0 = k_w \frac{4 N I_0}{\pi \cdot 2}$$

کل مقناطیسی دباؤ τ ان سب کا مجموعہ ہو گا۔ انہیں جمع کرنے سے پہلے ہم درج ذیل ثابت کرتے ہیں۔

$$\cos \gamma + \cos(\gamma - 240^\circ) + \cos(\gamma + 240^\circ) = 0$$

ہم کلیات

$$\begin{aligned} \cos(\alpha + \beta) &= \cos \alpha \cos \beta - \sin \alpha \sin \beta \\ \cos(\alpha - \beta) &= \cos \alpha \cos \beta + \sin \alpha \sin \beta \end{aligned}$$

میں $\alpha = \gamma$ اور $\beta = 240^\circ$ لے کر

$$\begin{aligned} \cos(\gamma + 240^\circ) &= \cos \gamma \cos 240^\circ - \sin \gamma \sin 240^\circ \\ \cos(\gamma - 240^\circ) &= \cos \gamma \cos 240^\circ + \sin \gamma \sin 240^\circ \end{aligned}$$

حاصل کرتے ہیں جن میں $\cos 240^\circ = -\frac{1}{2}$ اور $\sin 240^\circ = -\frac{\sqrt{3}}{2}$ پر کر کے درج ذیل حاصل ہو گا۔

$$\begin{aligned} \cos(\gamma + 240^\circ) &= -\frac{1}{2} \cos \gamma + \frac{\sqrt{3}}{2} \sin \gamma \\ \cos(\gamma - 240^\circ) &= -\frac{1}{2} \cos \gamma - \frac{\sqrt{3}}{2} \sin \gamma \end{aligned}$$

ان مساوات کو $\cos \gamma$ کے ساتھ جمع کرنے سے صفر حاصل ہو گا۔

$$\cos \gamma + \cos(\gamma + 240^\circ) + \cos(\gamma - 240^\circ) = 0$$

لئے اس مساوات کو درج ذیل لکھا جاسکتا ہے۔

$$(5.48) \quad \cos(\theta + \omega t + \alpha) + \cos(\theta + \omega t + \alpha + 240^\circ) + \cos(\theta + \omega t + \alpha - 240^\circ) = 0$$

اب مساوات 5.46 میں دئے τ_a ، τ_b اور τ_c کو جمع کر کے مساوات 5.48 کا استعمال کرتے ہوئے درج ذیل حاصل ہوگا۔

$$(5.49) \quad \tau^+ = \tau_a + \tau_b + \tau_c = \frac{3\tau_0}{2} \cos(\theta - \omega t - \alpha)$$

مساوات 5.49 کہتی ہے کہ کل مقناطیسی دباؤ کا حیثہ کسی ایک لچھے کے مقناطیسی دباؤ کے حیثہ کا $\frac{3}{2}$ گنا ہوگا۔ مزید مقناطیسی دباؤ کی موج گھڑی کے مخالف رخ گھومے گی۔ یوں تین لچھوں کو 120° زاویہ پر رکھنے اور انہیں تین دوری برقی رو، جو آپس میں 120° پر ہوں، سے ہیجان کرنے سے مقناطیسی دباؤ کی واحد ایک موج وجود میں آتی ہے۔ یہاں اس بات کا ذکر کرنا ضروری ہے کہ کسی دو برقی رو کو آپس میں تبدیل کرنے سے مقناطیسی موج کا رخ تبدیل ہوتا ہے۔

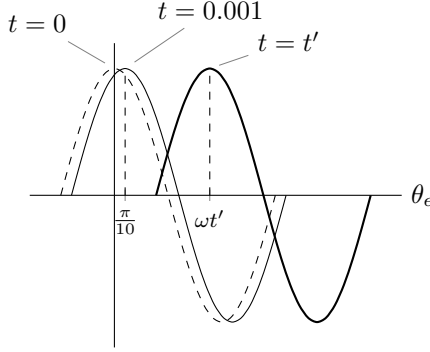
مساوات 5.49 ایک گھومتے موج کو ظاہر کرتی ہے جس میں ہم برقی رو کا تعدد 50 Hz اور اپنی آسانی کے لئے α کو صفر لیتے ہیں۔ یوں اس موج کی چوٹی کا تعین تقابل $\cos(\theta - \omega t)$ کرے گا۔ تقابل $\cos(\theta - \omega t)$ کی چوٹی پر نظر رکھیں۔ تقابل $\cos(\theta - \omega t)$ کی چوٹی اکائی ہے جو $\theta - \omega t = 0$ پر پائی جاتی ہے۔

ابتدائی لمحہ $t = 0$ پر $\cos(\theta - \omega t)$ کی چوٹی $(\theta - \omega t) = 0$ پر ہوگی جس کو $t = 0$ کے لئے حل کرتے ہیں۔

$$\begin{aligned} \theta - \omega t &= 0 \\ \theta - \omega \times 0 &= 0 \\ \theta &= 0 \end{aligned}$$

یوں موج کی چوٹی صفر برقی زاویہ پر ہوگی جسے شکل 5.20 میں نقطہ دار لکیر سے ظاہر کیا گیا ہے۔ ہم کچھ وقفہ، مثلاً $t = 0.001$ سیکنڈ، بعد اس چوٹی پر دوبارہ نظر ڈالتے ہیں۔

$$\begin{aligned} \theta - \omega t &= 0 \\ \theta - 0.001\omega &= 0 \\ \theta &= 0.001\omega \\ &= 0.001 \times 2 \times \pi \times 50 \\ &= 0.3142 \text{ rad} \end{aligned}$$



شکل 5.20: حرکت کرتی موج۔

اب یہ چوٹی 0.3142 یا $\frac{\pi}{10}$ برقی ریڈین یعنی 18° برقی زاویہ پر ہے جسے شکل 5.20 میں باریک ٹھوس لکیر سے ظاہر کیا گیا ہے۔ آپ دیکھ سکتے ہیں کہ مقتناطیسی دباؤ کی موج گھڑی کے مخالف رخ، یعنی زاویہ بڑھنے کے رخ، گھوم گئی ہے۔ اسی طرح لمحہ $t = 0.002$ پر چوٹی 36° برقی زاویہ پر نظر آئے گی۔ عمومی لمحہ t' پر چوٹی کا مقام $\theta - \omega t' = 0$ سے درج ذیل حاصل ہو گا جسے موٹی ٹھوس لکیر سے ظاہر کیا گیا ہے۔

$$(5.50) \quad \theta = \omega t'$$

مساوات 5.50 کہتی ہے کہ چوٹی کا مقام تعین کرنے والا زاویہ وقت کے ساتھ بتدریج بڑھتا ہے۔ اس مساوات سے ایک مکمل 2π برقی زاویہ چکر کا دورانیہ T حاصل کرتے ہیں۔

$$(5.51) \quad T = \frac{\theta}{\omega} = \frac{2\pi}{2\pi f} = \frac{1}{f}$$

یاد رہے f برقی رو کی تعدد ہے۔ یوں 50 ہرٹز برقی رو کی صورت میں مقتناطیسی دباؤ کی موج ہر $0.02 = \frac{1}{50}$ سیکنڈ میں ایک مکمل برقی چکر لہذا ایک سیکنڈ میں 50 برقی چکر مکمل کرے گی۔

دو قطبی مشینوں میں مساوات 5.7

$$(5.52) \quad \theta_e = \frac{P}{2} \theta_m$$

کے تحت برقی زاویہ θ_e اور میکانی زاویہ θ_m ایک دوسرے کے برابر ہوں گے۔ یوں دو قطبی مشینوں کی بات کرتے ہوئے مساوات 5.51 کے تحت ایک سیکنڈ میں مقتناطیسی دباؤ کی موج f برقی یا میکانی چکر مکمل کرے گی جہاں f

برقی رو کی تعدد ہے۔ P قطبی مشینوں کے مقناطیسی دباؤ کی موج ایک سیکنڈ میں f مقناطیسی چکر یعنی $\frac{2}{P}f$ میکانیکی شکر مکمل کرے گی۔

برقی رو کی تعدد کو f_e ، مقناطیسی دباؤ کی موج کی چوٹی کے برقی زاویہ کو θ_e ، میکانیکی زاویہ کو θ_m اور مقناطیسی دباؤ کی موج کی زاویائی رفتار کو ω_e یا ω_m سے ظاہر کرتے ہوئے درج ذیل ہوں گے۔

$$\begin{aligned}\omega_m &= \frac{2}{P}\omega_e \quad \text{rad/s} \\ f_m &= \frac{2}{P}f_e \quad \text{Hz} \\ n &= \frac{120f_e}{P} \quad \text{چکر فی سیکنڈ}\end{aligned}\tag{5.53}$$

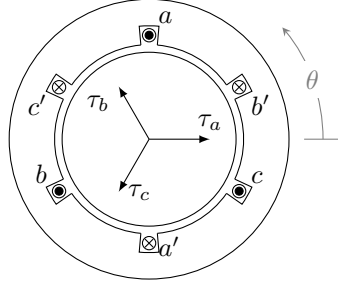
مقناطیسی موج کی برقی معاصر زاویائی رفتار ω_e برقی زاویہ فی سیکنڈ اور میکانیکی معاصر زاویائی رفتار ω_m میکانیکی زاویہ فی سیکنڈ ہوگی۔ اسی طرح موج کی برقی معاصر رفتار f_e برقی ہرٹز اور میکانیکی معاصر رفتار f_m میکانیکی ہرٹز ہوگی۔ برقی معاصر رفتار f_e ہرٹز ہونے سے مراد ہے کہ ایک سیکنڈ میں موج f_e برقی چکر کا فاصلہ طے کرتی ہے جو دو قطب کا یعنی 2π ریڈیئن کا میکانیکی زاویہ ہے۔ اسی طرح میکانیکی معاصر رفتار f_m ہرٹز ہونے کا مطلب ہے کہ موج ایک سیکنڈ میں f_m میکانیکی چکر کا فاصلہ طے کرے گی۔ ایک میکانیکی چکر روزمرہ زندگی میں ایک چکر کو ہی کہتے ہیں۔ اس مساوات میں n ، میکانیکی چکر فی منٹ³⁶ کو ظاہر کرتی ہے۔ مساوات 5.53 معاصر رفتار کی مساوات ہے۔

یہاں اس بات کا ذکر کرنا ضروری ہے کہ q دور کی لپٹی مشین جس کے لچھے $\frac{2\pi}{q}$ برقی زاویہ پر رکھے گئے ہوں اور جن میں برقی رو q دوری ہو میں، تین دوری مشین کی طرح، ایک ہی رخ گھومتے مقناطیسی دباؤ کی موج پیدا ہو گی۔ مزید، اس موج کا حیثہ کسی ایک لچھے کے مقناطیسی دباؤ کے حیثہ کا $\frac{q}{2}$ گنا ہو گا اور اس کی زاویائی رفتار $\omega_e = 2\pi f$ برقی ریڈیئن فی سیکنڈ ہوگی۔

5.5.3 تین دور کی لپٹی مشین کا تریسی تجزیہ

شکل 5.21 میں تین دور کی لپٹی مشین دکھائی گئی ہے جس میں مثبت برقی رو کے رخ دکھائے گئے ہیں۔ یوں a شکاف میں برقی رو کا رخ صفحہ سے عمودی باہر کو ہے جسے نقطہ سے ظاہر کیا گیا ہے۔ اسی طرح a' شکاف میں برقی رو کا رخ

³⁵synchronous speed
³⁶rpm, rounds per minute



شکل 5.21: تین دور کی لپٹی مشین میں مثبت برقی رو اور ان سے حاصل مقناطیسی دباؤ کے رخ۔

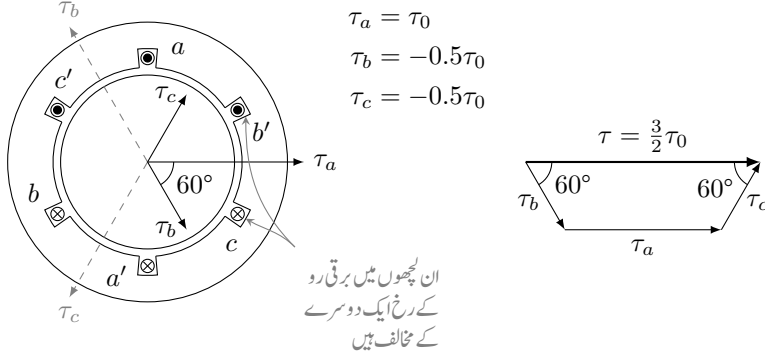
صفحہ میں عمودی اندر کو ہے اور جسے صلیب کے نشان سے ظاہر کیا گیا ہے۔ یوں شکاف a اور a' میں مثبت برقی رو کا مقناطیسی دباؤ τ_a صفر زاویہ پر ہو گا جو عین لچھا a کا رخ ہے۔ لچھے میں برقی رو سے پیدا مقناطیسی دباؤ کا رخ دائیں ہاتھ کے قانون سے معلوم کیا جاسکتا ہے۔

اب اگر لچھا a میں برقی رو منفی ہو تب برقی رو مثبت رخ کے مخالف ہو گا، یعنی اب برقی رو کا رخ شکاف a میں صفحہ کے عمودی اندر اور شکاف a' میں صفحہ کے عمودی باہر ہو گا۔ یوں منفی برقی رو سے پیدا مقناطیسی دباؤ بھی لچھا a کے رخ کا مخالف ہو گا۔ آپ نے دیکھا کہ برقی رو منفی ہونے سے مقناطیسی دباؤ کا رخ الٹ ہو جاتا ہے۔ شکل 5.21 میں لچھوں کے برقی رو اور مقناطیسی دباؤ درج ذیل ہیں جبکہ ان کے مثبت رخ شکل میں دیے گئے ہیں۔

$$\begin{aligned} i_a &= I_0 \cos \omega t \\ i_b &= I_0 \cos(\omega t - 120^\circ) \\ i_c &= I_0 \cos(\omega t + 120^\circ) \end{aligned} \quad (5.54)$$

$$\begin{aligned} \tau_a &= k_w \frac{4}{\pi} \frac{N i_a}{2} = k_w \frac{4}{\pi} \frac{N I_0}{2} \cos \omega t = \tau_0 \cos \omega t \\ \tau_b &= k_w \frac{4}{\pi} \frac{N i_b}{2} = k_w \frac{4}{\pi} \frac{N I_0}{2} \cos(\omega t - 120^\circ) = \tau_0 \cos(\omega t - 120^\circ) \\ \tau_c &= k_w \frac{4}{\pi} \frac{N i_c}{2} = k_w \frac{4}{\pi} \frac{N I_0}{2} \cos(\omega t + 120^\circ) = \tau_0 \cos(\omega t + 120^\circ) \end{aligned} \quad (5.55)$$

ہم مختلف لمحات پر ان کی قیمتوں تلاش کرتے ہیں اور ان کا مجموعی مقناطیسی دباؤ حاصل کرتے ہیں۔



شکل 5.22: لمحہ $t = 0$ پر برقی رو اور مقناطیسی دباؤ۔

لمحہ $t = 0$ پر ان درج بالا مساوات سے درج ذیل حاصل ہو گا۔

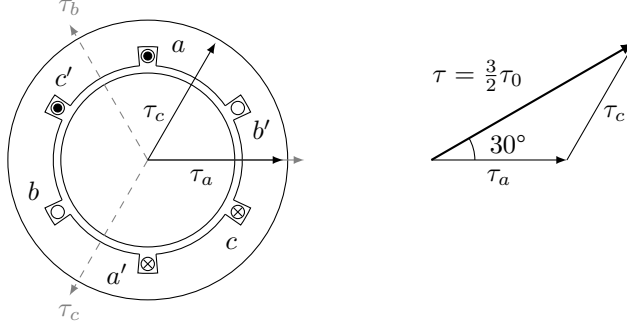
$$\begin{aligned}
 i_a &= I_0 \cos 0 = I_0 \\
 i_b &= I_0 \cos(0 - 120^\circ) = -0.5I_0 \\
 i_c &= I_0 \cos(0 + 120^\circ) = -0.5I_0
 \end{aligned}
 \quad (5.56)$$

$$\begin{aligned}
 \tau_a &= \tau_0 \cos 0 = \tau_0 \\
 \tau_b &= \tau_0 \cos(0 - 120^\circ) = -0.5\tau_0 \\
 \tau_c &= \tau_0 \cos(0 + 120^\circ) = -0.5\tau_0
 \end{aligned}
 \quad (5.57)$$

یہاں رکھ کر ذرا غور کریں۔ لمحہ $t = 0$ پر i_a مثبت جبکہ i_b اور i_c منفی ہیں۔ یوں i_a کا رخ وہی ہو گا جسے شکل 5.21 کی a اور a' شگافوں میں نقطے اور صلیب سے دکھایا گیا ہیں جبکہ i_b اور i_c کے رخ شکل میں دیے گئے رخ کے مخالف ہوں گے۔ لمحہ $t = 0$ پر تینوں برقی رو کے درست رخ اور تینوں مقناطیسی دباؤ شکل 5.22 میں دکھائے گئے ہیں۔

کل مقناطیسی دباؤ یا آسانی بذریعہ ترسیم (شکل 5.22)، مجموعہ سمتیات سے یا الجبرا کے ذریعہ حاصل کیا جاسکتا ہے۔

$$\begin{aligned}
 \tau_a &= \tau_0 \mathbf{a}_x \\
 \tau_b &= 0.5\tau_0 [\cos(60^\circ)\mathbf{a}_x - \sin(60^\circ)\mathbf{a}_y] \\
 \tau_c &= 0.5\tau_0 [\cos(60^\circ)\mathbf{a}_x + \sin(60^\circ)\mathbf{a}_y]
 \end{aligned}
 \quad (5.58)$$



شکل 5.23: لمحہ $30^\circ = \omega t_1$ پر برقی رد اور مقناطیسی دباؤ۔

ان کا مجموعہ درج ذیل ہو گا۔

$$(5.59) \quad \tau = \tau_a + \tau_b + \tau_c = \frac{3}{2} \tau_0 a_x$$

لمحہ $t = 0$ پر کل مقناطیسی دباؤ ایک لمحے کے مقناطیسی دباؤ کا ڈیڑھ گنا اور صفر زاویہ پر ہے۔

اب ہم گھڑی کو چلنے دیتے ہیں اور کچھ وقفہ بعد لمحہ t_1 پر دوبارہ مقناطیسی دباؤ تلاش کرتے ہیں۔ مساوات 5.54 اور مساوات 5.55 میں متغیر t کی بجائے ωt کا استعمال زیادہ آسان ہے لہذا ہم لمحہ t_1 یوں منتخب کرتے ہیں کہ $\omega t_1 = 30^\circ$ ایسا کرنے سے درج ذیل حاصل ہو گا جنہیں شکل 5.23 میں دکھایا گیا ہے۔

$$(5.60) \quad \begin{aligned} i_a &= I_0 \cos 30^\circ = \frac{\sqrt{3}}{2} I_0 \\ i_b &= I_0 \cos(30^\circ - 120^\circ) = 0 \\ i_c &= I_0 \cos(30^\circ + 120^\circ) = -\frac{\sqrt{3}}{2} I_0 \end{aligned}$$

$$(5.61) \quad \begin{aligned} \tau_a &= \tau_0 \cos 30^\circ = \frac{\sqrt{3}}{2} \tau_0 \\ \tau_b &= \tau_0 \cos(30^\circ - 120^\circ) = 0 \\ \tau_c &= \tau_0 \cos(30^\circ + 120^\circ) = -\frac{\sqrt{3}}{2} \tau_0 \end{aligned}$$

کل مقناطیسی دباؤ کا طول τ اور زاویہ نکلون سے حاصل کرتے ہیں۔

$$(5.62) \quad \tau = \sqrt{\tau_a^2 + \tau_c^2 - 2\tau_a\tau_c \cos 120^\circ} = \frac{3}{2} \tau_0$$

تکون کے دو اطراف کی لمبائیاں ایک دوسرے کے برابر اور ان کے بیچ زاویہ 60° ہے لہذا مقناطیسی دباو کا زاویہ افقی لکیر سے 30° ہو گا۔

کل مقناطیسی دباو جو پہلے صفر زاویہ پر تھا اب گھڑی کے مخالف رخ گھوم کر 30° زاویہ پر ہے۔ اسی طرح لمحہ $40^\circ = \omega t$ پر حل کرنے سے زاویہ 45° پر کل مقناطیسی دباو $\frac{3}{2}T_0$ حاصل ہو گا۔ عمومی لمحہ t ، جس پر $\theta = \omega t$ ہو، زاویہ θ° پر کل مقناطیسی دباو $\frac{3}{2}T_0$ پیدا کرتا ہے۔

5.6 محرک برقی دباو

یہاں محرک برقی دباو³⁷ کو ایک دوسرے نقطہ نظر سے پیش کرتے ہیں۔

5.6.1 بدلتا رہتی جزیر

شکل 5.24 میں ایک بنیادی بدلتا رہتی جزیر³⁸ دکھایا گیا ہے۔ اس کا گھومتا برقی مقناطیس، خلائی درز میں سائن نما مقناطیسی دباو پیدا کرتا ہے جس سے درز میں سائن نما کثافت مقناطیسی بہاؤ B پیدا ہوتا ہے:

$$(5.63) \quad B = B_0 \cos \theta_p$$

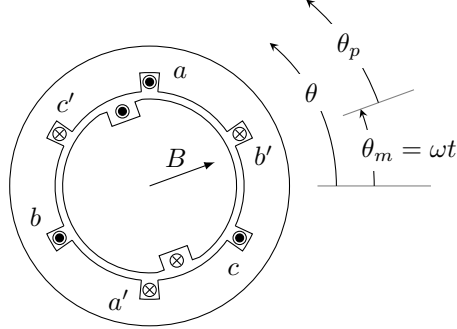
یہ مقناطیس ω زاویاتی رفتار سے گھوم رہا ہے۔ ابتدائی لمحہ $t = 0$ پر اس مقناطیس کو لچھا a کے رخ، یعنی ہلکی سیاہی کی افقی لکیر پر تصور کریں۔ یوں لمحہ t پر یہ گھوم کر زاویہ $\theta_m = \omega t$ پر ہو گا۔ اس طرح درج بالا مساوات درج ذیل لکھی جاسکتی ہے۔

$$(5.64) \quad \begin{aligned} B &= B_0 \cos(\theta - \theta_m) \\ &= B_0 \cos(\theta - \omega t) \end{aligned}$$

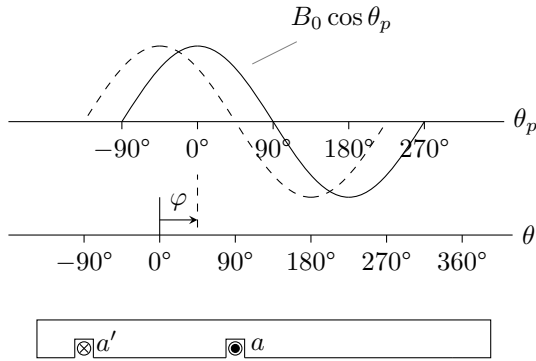
شکل 5.25 میں B کو زاویہ θ اور θ_p کے ساتھ ترسیم کیا گیا ہے اور ساتھ ہی لچھا a دکھایا گیا ہے۔ لمحہ $t = 0$ پر، جب گھومتے برقی مقناطیس کا محور اور لچھا a کا محور ایک رخ ہیں، نقطہ دار لکیر سے B دکھایا گیا ہے جبکہ عمومی لمحہ

³⁷ ابتدا میں حرکت سے پیدا ہونے والی دباو کو محرک برقی دباو کہتے تھے۔ اب روایتی طور پر کسی بھی طرح پیدا کردہ برقی دباو کو محرک برقی دباو کہتے ہیں۔
³⁸ ac generator

$$\begin{aligned}
 B &= B_0 \cos \theta_p \\
 &= B_0 \cos(\theta - \theta_m) \\
 &= B_0 \cos(\theta - \omega t)
 \end{aligned}$$



شکل 5.24: بنیادی بدلتی روجنریٹر۔



شکل 5.25: لچھے میں سے گزرتا مقناطیسی بہاؤ۔

t پر B کو ٹھوس لکیر سے دکھایا گیا ہے۔ چونکہ B کی چوٹی ہر صورت $\theta_p = 0^\circ$ پر ہوگی لہذا ترسیم میں محور θ_p پر دکھائے گئے زاویات 90° تا 270° عمومی لمحہ t کے لئے درست ہیں تاکہ $t = 0^\circ$ کے لئے لمحہ $t = 0$ پر B کی چوٹی عین $\theta = 0^\circ$ پر ہوگی۔ عمومی لمحہ t پر برقی مقناطیس کے محور اور لچھے کے محور کے بیچ ϑ زاویہ ہے۔ یہ زاویہ برقی مقناطیس کے گھومنے کی رفتار ω پر منحصر ہوگا۔

$$(5.65) \quad \vartheta = \omega t$$

لمحہ $t = 0$ پر لچھا a میں مقناطیسی بہاؤ زیادہ سے زیادہ ہوگا۔ خلائی درز باریک ہونے کی بنا درز کا اندرونی اور بیرونی رداس تقریباً ایک دوسرے جیسا ہوں گے۔ برقی مقناطیس کے گھومنے کے محور سے خلائی درز تک کا اوسط رداسی فاصلہ ρ اور برقی مقناطیس کی محوری لمبائی l ³⁹ ہونے کی صورت میں لچھے میں مقناطیسی بہاؤ وہی ہوگا جو خلائی درز میں $-\frac{\pi}{2} < \theta < \frac{\pi}{2}$ کے بیچ ہے۔ لمحہ $t = 0$ پر لچھا a سے گزرتا بہاؤ تلاش کرتے ہیں۔

$$\begin{aligned} \phi_a(0) &= \int_{-\frac{\pi}{2}}^{+\frac{\pi}{2}} \mathbf{B} \cdot d\mathbf{S} \\ &= \int_{-\frac{\pi}{2}}^{+\frac{\pi}{2}} (B_0 \cos \theta_p)(l\rho d\theta_p) \\ (5.66) \quad &= B_0 l \rho \sin \theta_p \Big|_{-\frac{\pi}{2}}^{+\frac{\pi}{2}} \\ &= 2B_0 l \rho \\ &= \phi_0 \end{aligned}$$

آخری قدم پر $\phi_a(0)$ کو ϕ_0 کہا گیا ہے۔ یہی حساب لمحہ t پر درج ذیل ہوگا جہاں آخری قدم پر $\vartheta = \omega t$ لیا گیا ہے۔

$$\begin{aligned} \phi_a(t) &= \int_{-\frac{\pi}{2}-\vartheta}^{+\frac{\pi}{2}-\vartheta} \mathbf{B} \cdot d\mathbf{S} \\ &= \int_{-\frac{\pi}{2}-\vartheta}^{+\frac{\pi}{2}-\vartheta} (B_0 \cos \theta_p)(l\rho d\theta_p) \\ (5.67) \quad &= B_0 l \rho \sin \theta_p \Big|_{-\frac{\pi}{2}-\vartheta}^{+\frac{\pi}{2}-\vartheta} \\ &= 2B_0 l \rho \cos \vartheta \\ &= 2B_0 l \rho \cos \omega t \end{aligned}$$

اسی بہاو کو درج ذیل طریقہ سے بھی حاصل کیا جاسکتا ہے۔

$$\begin{aligned}
 \phi_a(t) &= \int_{-\frac{\pi}{2}}^{+\frac{\pi}{2}} \mathbf{B} \cdot d\mathbf{S} \\
 &= \int_{-\frac{\pi}{2}}^{+\frac{\pi}{2}} (B_0 \cos(\theta - \omega t))(l\rho d\theta) \\
 (5.68) \quad &= B_0 l\rho \sin(\theta - \omega t) \Big|_{-\frac{\pi}{2}}^{+\frac{\pi}{2}} \\
 &= B_0 l\rho \left[\sin\left(\frac{\pi}{2} - \omega t\right) - \sin\left(-\frac{\pi}{2} - \omega t\right) \right] \\
 &= 2B_0 l\rho \cos \omega t
 \end{aligned}$$

اس مرتبہ مکمل زاویہ θ کے ساتھ کیا گیا ہے۔ مساوات 5.66 کی مدد سے $\phi_a(t)$ کو درج ذیل لکھا جاسکتا ہے۔

$$(5.69) \quad \phi_a(t) = 2B_0 l\rho \cos \omega t = \phi_0 \cos \omega t$$

مساوات 5.68 کی طرح b اور c لچھوں کے مقناطیسی بہاو کی مساواتیں بھی حاصل کی جاسکتی ہیں۔ شکل 5.24 میں زاویہ $-\frac{\pi}{2}$ سے $+\frac{\pi}{2}$ تک کا مقناطیسی بہاو لچھا a میں گزرتا ہے۔ اس لئے $\phi_a(t)$ معلوم کرنے کے لئے مساوات 5.68 میں مکمل کے حد یہی رکھے گئے تھے۔ یوں لچھا b کے مکمل کے حد $+\frac{\pi}{6}$ اور $+\frac{7\pi}{6}$ جبکہ c کے حد $+\frac{5\pi}{6}$ اور $+\frac{11\pi}{6}$ ہوں گے۔ تمام زاویات ریڈیئن میں دیے گئے ہیں۔ یوں درج ذیل ہو گا۔

$$\begin{aligned}
 \phi_b(t) &= \int_{\frac{\pi}{6}}^{\frac{7\pi}{6}} \mathbf{B} \cdot d\mathbf{S} \\
 &= \int_{\frac{\pi}{6}}^{\frac{7\pi}{6}} (B_0 \cos(\theta - \omega t))(l\rho d\theta) \\
 (5.70) \quad &= B_0 l\rho \sin(\theta - \omega t) \Big|_{\frac{\pi}{6}}^{\frac{7\pi}{6}} \\
 &= B_0 l\rho \left[\sin\left(\frac{7\pi}{6} - \omega t\right) - \sin\left(\frac{\pi}{6} - \omega t\right) \right] \\
 &= 2B_0 l\rho \cos\left(\omega t - \frac{2\pi}{3}\right)
 \end{aligned}$$

اور

$$\begin{aligned}
 \phi_c(t) &= \int_{\frac{5\pi}{6}}^{\frac{11\pi}{6}} \mathbf{B} \cdot d\mathbf{S} \\
 &= \int_{\frac{5\pi}{6}}^{\frac{11\pi}{6}} (B_0 \cos(\theta - \omega t))(l\rho d\theta) \\
 (5.71) \quad &= B_0 l \rho \sin(\theta - \omega t) \Big|_{\frac{5\pi}{6}}^{\frac{11\pi}{6}} \\
 &= B_0 l \rho \left[\sin\left(\frac{11\pi}{6} - \omega t\right) - \sin\left(\frac{5\pi}{6} - \omega t\right) \right] \\
 &= 2B_0 l \rho \cos\left(\omega t + \frac{2\pi}{3}\right)
 \end{aligned}$$

ایک لچھا کے N چکر تصور کرتے ہوئے تینوں لچھوں میں پیدا برقی دباو معلوم کرتے ہیں۔ لچھوں میں ارتباط بہاؤ درج ذیل ہو گا۔

$$\begin{aligned}
 \lambda_a &= N\phi_a(t) = N\phi_0 \cos \omega t \\
 (5.72) \quad \lambda_b &= N\phi_b(t) = N\phi_0 \cos(\omega t - 120^\circ) \\
 \lambda_c &= N\phi_c(t) = N\phi_0 \cos(\omega t + 120^\circ)
 \end{aligned}$$

ان مساوات میں $\frac{2\pi}{3}$ ریڈیئن کو 120° لکھا گیا ہے۔ لچھوں میں پیدا امالی برقی دباو درج ذیل ہو گا۔

$$\begin{aligned}
 e_a(t) &= -\frac{d\lambda_a}{dt} = \omega N\phi_0 \sin \omega t \\
 (5.73) \quad e_b(t) &= -\frac{d\lambda_b}{dt} = \omega N\phi_0 \sin(\omega t - 120^\circ) \\
 e_c(t) &= -\frac{d\lambda_c}{dt} = \omega N\phi_0 \sin(\omega t + 120^\circ)
 \end{aligned}$$

ان مساوات کو

$$\begin{aligned}
 e_a(t) &= \omega N\phi_0 \cos(\omega t - 90^\circ) \\
 (5.74) \quad e_b(t) &= \omega N\phi_0 \cos(\omega t + 150^\circ) \\
 e_c(t) &= \omega N\phi_0 \cos(\omega t + 30^\circ)
 \end{aligned}$$

لکھا جاسکتا ہے جو آپس میں 120° زاویہ پر تین دوری محرک برقی دباو کو ظاہر کرتی ہیں۔ ان سب کے حیطے E_0 ایک دوسرے جتنے ہیں

$$(5.75) \quad E_0 = \omega N\phi_0$$

لہذا تینوں برقی دباؤ کی موثر قیمت⁴⁰ درج ذیل ہو گی۔

$$(5.76) \quad E_{\text{موثر}} = \frac{E_0}{\sqrt{2}} = \frac{2\pi f N \phi_0}{\sqrt{2}} = 4.44 f N \phi_0$$

چونکہ $\phi = BA$ ہوتا ہے لہذا مساوات 5.76 صفحہ 52 پر دی گئی مساوات 2.52 کی طرح ہے۔

مساوات 5.74 سائن نما برقی دباؤ کو ظاہر کرتی ہے۔ اگرچہ اسے یہ تصور کر کے حاصل کیا گیا کہ خلائی درز میں مقناطیسی بہاؤ صرف برقی مقناطیس کی وجہ سے ہے تاہم برقی دباؤ کا اس سے کوئی تعلق نہیں کہ خلائی درز میں مقناطیسی بہاؤ کس طرح وجود میں آیا اور یہ مساوات ان حالات کے لئے بھی درست ہے جہاں خلائی درز میں مقناطیسی بہاؤ جزیئر کے ساکن حصہ میں پیدا ہوئی ہو یا ساکن اور حرکت پذیر دونوں حصوں میں پیدا ہوئی ہو۔

مساوات 5.76 ہمیں ایک گچھ لچھے میں پیدا برقی دباؤ دیتی ہے۔ اگر لچھا تقسیم شدہ ہو تب اس کے مختلف شگافوں میں موجود اس لچھے کے حصوں میں برقی دباؤ ہم قدم نہیں ہوں گے لہذا ان سب کا مجموعی برقی دباؤ ان سب کا حاصل جمع نہیں ہو گا بلکہ اس سے کچھ کم ہو گا۔ یوں پھیلے لچھے کے لئے یہ مساوات درج ذیل صورت اختیار کرتی ہے۔

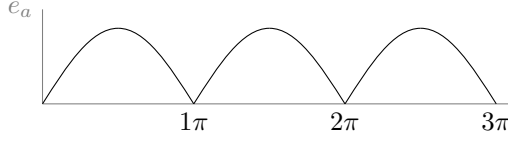
$$(5.77) \quad E_{\text{موثر}} = 4.44 k_w f N \phi_0$$

تین دوری برقی جزیئروں کے k_w کی قیمت 0.85 تا 0.95 ہوتی ہے۔ یہ مساوات ہمیں یک دوری برقی دباؤ دیتی ہے۔ تین دوری برقی جزیئروں میں ایسے تین لچھوں کے جوڑے ہوتے ہیں اور ان کو Y یعنی ستارہ Δ یعنی تکنونی جوڑا جاتا ہے۔

5.6.2 یک سمتی رو برقی جزیئر

ہر گھومنے والا برقی جزیئر بنیادی طور پر بدلتی رو جزیئر ہی ہوتا ہے۔ البتہ جہاں ایک سمتی برقی دباؤ⁴¹ کی ضرورت ہو وہاں مختلف طریقوں سے بدلتی برقی دباؤ کو یک سمتی برقی دباؤ میں تبدیل کیا جاتا ہے۔ ایسا الیکٹرانکس کے ذریعہ جزیئر کے باہر برقیات⁴² سمٹے کار⁴³ کی مدد سے کیا جاسکتا ہے یا پھر میکانی طریقے سے میکانی سمٹے کار⁴³ کی مدد سے جزیئر کے اندر ہی کیا جاسکتا ہے۔ مساوات 5.73 میں دیے گئے برقی دباؤ کو یک سمتی برقی دباؤ میں تبدیل کیا جائے تو یہ شکل 5.26 کی طرح ہو گا۔

⁴⁰rms
⁴¹DC voltage
⁴²rectifier
⁴³commutator



شکل 5.26: یک دوری یک سمتی برقی دباؤ۔

مثال 5.5: شکل 5.26 میں یک سمتی برقی دباؤ دکھائی گئی ہے۔ اس یک سمتی برقی دباؤ کی اوسط قیمت حاصل کریں۔

حل:

$$E_{\text{اوسط}} = \frac{1}{\pi} \int_0^{\pi} \omega N \phi_0 \sin \omega t \, d(\omega t) = \frac{2\omega N \phi_0}{\pi}$$

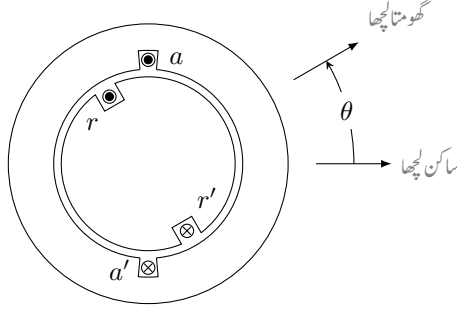
□

یک سمتی برقی جزیئر پر باقاعدہ تبصرہ کتاب کے باب میں کیا جائے گا۔

5.7 ہموار قطب مشینوں میں قوت مروڑ

اس حصے میں ہم ایک کامل مشین میں قوتے مروڑ⁴⁴ کا حساب لگائیں گے۔ ایسا دو طریقوں سے کیا جاسکتا ہے۔ ہم مشین کو دو مقناطیس سمجھ کر ان کے مابین قوت کشش، قوت دفع اور قوت مروڑ کا حساب لگا سکتے ہیں یا پھر اس میں ساکن اور گھومتے لچھوں کو امالہ سمجھ کر باب چار کی طرح توانائی اور کو توانائی کے استعمال سے اس کا حساب لگائیں۔ پہلے توانائی کا طریقہ استعمال کرتے ہیں۔

⁴⁴torque



شکل 5.27: ساکن امالہ اور گھومتا امالہ۔

5.7.1 توانائی کے طریقے سے میکانیکی قوت مروڑ کا حساب

یہاں ہم ایک دوری مشین کی بات کریں گے۔ اس سے حاصل جوابات کو با آسانی زیادہ دور کی آلوں پر لاگو کیا جا سکتا ہے۔ شکل 5.27 میں یک دوری کامل مشین دکھائی گئی ہے۔ کسی بھی لمحہ اس کی دو لچھوں میں کچھ زاویہ ہو گا جسے θ سے ظاہر کیا گیا ہے۔ خلائی درز ہر جگہ یکساں ہے لہذا یہاں ابھرے قطب کے اثرات کو نظر انداز کیا جائے گا۔ مزید یہ کہ قالب کی $\mu_r \rightarrow \infty$ تصور کی گئی ہے لہذا لچھوں کی امالہ صرف خلائی درز کی مقناطیسی مستقل μ_0 پر منحصر ہے۔

اس طرح ساکن لچھے کی امالہ L_{aa} اور گھومے لچھے کی امالہ L_{rr} مقررہ ہیں جبکہ ان کا مشترکہ امالہ $L_{ar}(\theta)$ زاویہ θ پر منحصر ہو گا۔ جب $\theta = 0$ یا $\theta = \pm 2\pi$ کے برابر ہو تو ایک لچھے کا سارا مقناطیسی بہاؤ دوسرے لچھے سے بھی گزرتا ہے۔ ایسے حالت میں ان کا مشترکہ امالہ زیادہ سے زیادہ ہو گا جسے L_{ar0} لکھتے ہیں۔ جب $\theta = \pm 180^\circ$ ہو اس لمحہ ایک مرتبہ پھر ایک لچھے کا سارا مقناطیسی بہاؤ دوسرے لچھے سے بھی گزرتا ہے البتہ اس لمحہ اس کی سمت الٹ ہوتی ہے لہذا اب ان کا مشترکہ امالہ بھی منفی ہو گا یعنی $-L_{ar0}$ اور جب $\theta = \pm 90^\circ$ ہو تب ان کا مشترکہ امالہ صفر ہو گا۔ اگر ہم یہ ذہن میں رکھیں کہ خلائی درز میں مقناطیسی بہاؤ سائن نما ہے تب

$$(5.78) \quad L_{ar} = L_{ar0} \cos \theta$$

ہو گا۔ ہم ساکن اور گھومتے لچھوں کی ارتباط بہاؤ کو یوں لکھ سکتے ہیں

$$(5.79) \quad \begin{aligned} \lambda_a &= L_{aa} i_a + L_{ar}(\theta) i_r = L_{aa} i_a + L_{ar0} \cos(\theta) i_r \\ \lambda_r &= L_{ar}(\theta) i_a + L_{rr} i_r = L_{ar0} \cos(\theta) i_a + L_{rr} i_r \end{aligned}$$

magnetic constant, permeability⁴⁵

اگر ساکن لچھے کی مزاحمت R_a اور گھومتے لچھے کی مزاحمت R_r ہو تو ہم ان لچھوں کے سروں پر دیے گئے برقی دباؤ کو یوں لکھ سکتے ہیں۔

$$(5.80) \quad \begin{aligned} v_a &= i_a R_a + \frac{d\lambda_a}{dt} = i_a R_a + L_{aa} \frac{di_a}{dt} + L_{ar0} \cos \theta \frac{di_r}{dt} - L_{ar0} i_r \sin \theta \frac{d\theta}{dt} \\ v_r &= i_r R_r + \frac{d\lambda_r}{dt} = i_r R_r + L_{ar0} \cos \theta \frac{di_a}{dt} - L_{ar0} i_a \sin \theta \frac{d\theta}{dt} + L_{rr} \frac{di_r}{dt} \end{aligned}$$

یہاں θ برقی زاویہ ہے اور وقت کے ساتھ اس کی تبدیلی رفتار ω کو ظاہر کرتی ہے یعنی

$$(5.81) \quad \frac{d\theta}{dt} = \omega$$

میکانی قوت مروڑ بذریعہ کو توانائی حاصل کی جاسکتی ہے۔ کو توانائی صفحہ 127 پر مساوات 4.72 سے حاصل ہوتی ہے۔ یہ مساوات موجودہ استعمال کے لئے یوں لکھا جاسکتا ہے۔

$$(5.82) \quad W'_m = \frac{1}{2} L_{aa} i_a^2 + \frac{1}{2} L_{rr} i_r^2 + L_{ar0} i_a i_r \cos \theta$$

اس سے میکانی قوت مروڑ T_m یوں حاصل ہوتا ہے۔

$$(5.83) \quad T_m = \frac{\partial W'_m(\theta_m, i_a, i_r)}{\partial \theta_m} = \frac{\partial W'_m(\theta, i_a, i_r)}{\partial \theta} \frac{\partial \theta}{\partial \theta_m}$$

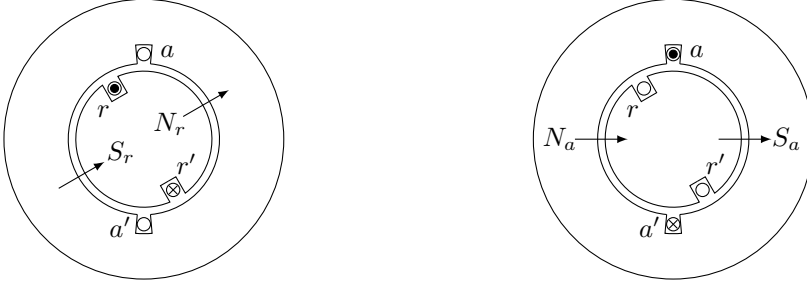
چونکہ P قطب مشینوں کے لئے

$$(5.84) \quad \theta = \frac{P}{2} \theta_m$$

لہذا ہمیں مساوات 5.83 سے ملتا ہے

$$(5.85) \quad T_m = -\frac{P}{2} L_{ar0} i_a i_r \sin \left(\frac{P}{2} \theta_m \right)$$

اس مساوات میں قوت مروڑ T_m منفی ہے۔ اس کا مطلب ہے کہ اگر کسی لمحہ پر ساکن اور گھومتے لچھوں کے مقناطیسی بہاؤ کے درمیان زاویہ مثبت ہو تو ان کے مابین قوت مروڑ منفی ہو گا یعنی قوت مروڑ ان دونوں مقناطیسی بہاؤ کو ایک سمت میں رکھنے کی کوشش کرے گا۔



شکل 5.28: لچھوں کے قطبین۔

5.7.2 مقناطیسی بہاؤ سے میکانیکی قوت مروڑ کا حساب

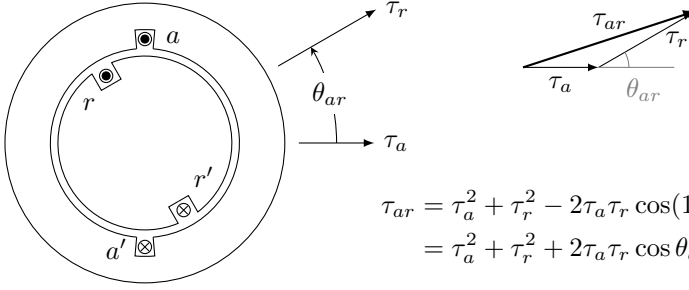
شکل 5.28 میں دو قطب والی یک دوری مشین دکھائی گئی ہے۔ اس شکل میں بائیں جانب صرف گھومتے لچھے میں برقی رو ہے۔ اس لچھے کا مقناطیسی بہاؤ تیر کے نشان سے دکھایا گیا ہے، یعنی تیر اس مقناطیس کے محور کو ظاہر کرتا ہے۔ یہاں اگر صرف گھومتے حصے پر توجہ دی جائے تو یہ واضح ہے کہ گھومتا حصہ ایک مقناطیس کی مانند ہے جس کے شمالی اور جنوبی قطبین شکل میں دیے گئے ہیں۔ اسی طرح شکل میں دائیں جانب صرف ساکن لچھے میں برقی رو ہے۔ اگر اس مرتبہ صرف ساکن حصے پر توجہ دی جائے تو اس کے بائیں جانب سے مقناطیسی بہاؤ نکل کر خلائی درز میں داخل ہوتی ہے، لہذا یہی اس کا شمالی قطب ہے اور اس مقناطیس کا محور بھی اسی تیر کی سمت میں ہے۔

یہاں یہ واضح رہے کہ اگرچہ کچھ لچھے دکھائے گئے ہیں لیکن درحقیقت دونوں لچھوں کے مقناطیسی دباؤ سائمن۔ نما ہی ہیں اور تیر کے نشان ان مقناطیسی دباؤ کی موج کے چوٹی کو ظاہر کرتے ہیں۔

شکل 5.29 میں اب دونوں لچھوں میں برقی رو ہے۔ یہ واضح ہے کہ یہ بالکل دو مقناطیسوں کی طرح ہے اور ان کے الٹ قطبین کے مابین قوت کشش ہو گا، یعنی یہ دونوں لچھے ایک ہی سمت میں ہونے کی کوشش کریں گے۔

یہاں یہ زیادہ واضح ہے کہ یہ دو مقناطیس کوشش کریں گے کہ θ_{ar} صفر کے برابر ہو یعنی ان کا میکانیکی قوت مروڑ θ_{ar} کے الٹ سمت میں ہو گا۔ یہی کچھ مساوات 5.85 کہتا ہے۔

ان برقی مقناطیسوں کے مقناطیسی دباؤ کو اگر ان کے مقناطیسی محور کی سمت میں τ_a اور τ_r سے ظاہر کیا جائے جہاں τ_r اور τ_a مقناطیسی دباؤ کے چوٹی کے برابر ہوں تو خلاء میں کل مقناطیسی دباؤ τ_{ar} ان کا جمع سمتیت ہو گا جیسے



شکل 5.29: خلائی درز میں مجموعی مقناطیسی دباؤ۔

شکل میں دکھایا گیا ہے۔ اس کا طول τ_{ar} کو سائن کے قلیہ⁴⁶ سے یوں حاصل ہوتا ہے۔

$$(5.86) \quad \begin{aligned} \tau_{ar}^2 &= \tau_a^2 + \tau_r^2 - 2\tau_a\tau_r \cos(180^\circ - \theta_{ar}) \\ &= \tau_a^2 + \tau_r^2 + 2\tau_a\tau_r \cos \theta_{ar} \end{aligned}$$

خلائی درز میں یہ کل مقناطیسی دباؤ، مقناطیسی شدت H_{ar} کو جنم دے گا جو اس قلیہ سے حاصل ہوتا ہے۔

$$(5.87) \quad \tau_{ar} = H_{ar} l_g$$

H_{ar} مقناطیسی شدت کی چوٹی کو ظاہر کرتا ہے۔ اب جہاں خلاء میں مقناطیسی شدت H ہو وہاں مقناطیسی ہمہ توانائی کی کثافت $\frac{\mu_0}{2} H^2$ ہوتی ہے۔ خلائی درز میں اوسط ہمہ توانائی کی کثافت اس خلائی درز میں H^2 کی اوسط ضرب $\frac{\mu_0}{2}$ ہوگی۔ کسی بھی سائن نما موج $H = H_0 \cos \theta$ کے H^2 کا اوسط $H_{\text{اوسط}}^2$ یوں حاصل کیا جاتا ہے۔

$$(5.88) \quad \begin{aligned} H_{\text{اوسط}}^2 &= \frac{1}{\pi} \int_{-\frac{\pi}{2}}^{+\frac{\pi}{2}} H^2 d\theta \\ &= \frac{1}{\pi} \int_{-\frac{\pi}{2}}^{+\frac{\pi}{2}} H_0^2 \cos^2 \theta d\theta \\ &= \frac{H_0^2}{\pi} \int_{-\frac{\pi}{2}}^{+\frac{\pi}{2}} \frac{1 + \cos 2\theta}{2} d\theta \\ &= \frac{H_0^2}{\pi} \left[\theta + \frac{\sin 2\theta}{2} \right]_{-\frac{\pi}{2}}^{+\frac{\pi}{2}} \\ &= \frac{H_0^2}{2} \end{aligned}$$

cosine law⁴⁶

لہذا خلائی درز میں اوسط ہمہ توانائی کی کثافت $\frac{\mu_0}{2} \frac{H_{ar}^2}{2}$ ہو گی اور اس خلاء میں کل ہمہ توانائی اس اوسط ہمہ توانائی ضرب خلاء کی حجم کے برابر ہو گا یعنی

$$(5.89) \quad W'_m = \frac{\mu_0}{2} \frac{H_{ar}^2}{2} 2\pi r l_g l = \frac{\mu_0 \pi r l}{2 l_g} \tau_{ar}^2$$

اس مساوات میں خلائی درز کی رداسی لمبائی l_g ہے اور اس کی دھڑے ⁴⁷ کی سمت میں محوری لمبائی l ⁴⁸ ہے۔ محور سے خلاء کی اوسط رداسی فاصلہ r ہے۔ مزید یہ کہ $r \gg l_g$ ہے۔ اس طرح خلاء میں رداسی سمت میں کثافتِ مقناطیسی بہاو کی تبدیلی کو نظر انداز کیا جا سکتا ہے۔ اس مساوات کو ہم مساوات 5.86 کی مدد سے یوں لکھ سکتے ہیں۔

$$(5.90) \quad W'_m = \frac{\mu_0 \pi r l}{2 l_g} (\tau_a^2 + \tau_r^2 + 2\tau_a \tau_r \cos \theta_{ar})$$

اس سے میکانی قوت مروڑ یوں حاصل کیا جا سکتا ہے

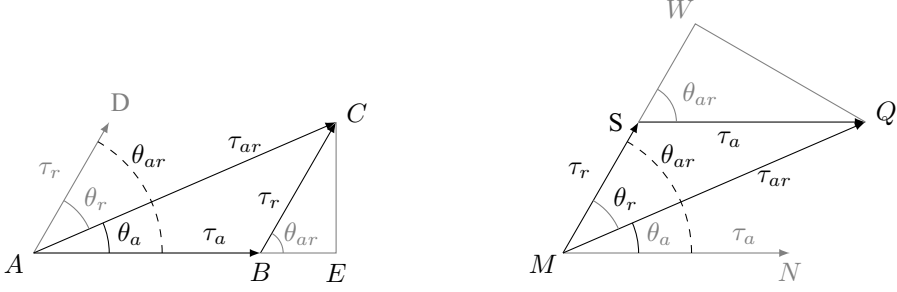
$$(5.91) \quad T_m = \frac{\partial W'_m}{\partial \theta_{ar}} = -\frac{\mu_0 \pi r l}{l_g} \tau_a \tau_r \sin \theta_{ar}$$

یہ حساب دو قطب والی مشین کے لئے لگایا گیا ہے۔ P قطب والے مشین کے لئے یہ مساوات ہر جوڑی قطب کا میکانی قوت مروڑ دیتا ہے لہذا ایسے مشین کے لئے ہم لکھ سکتے ہیں

$$(5.92) \quad T_m = -\frac{P}{2} \frac{\mu_0 \pi r l}{l_g} \tau_a \tau_r \sin \theta_{ar}$$

یہ ایک بہت اہم مساوات ہے۔ اس کے مطابق مشین کا میکانی قوت مروڑ اس کے ساکن اور گھومتے لچھوں کے مقناطیسی دباؤ کے چوٹی کے براہ راست تناسب ہے۔ اسی طرح یہ ان دونوں کے درمیان برقی زاویہ θ_{ar} کے سائن کے بھی براہ راست تناسب ہے۔ منفی میکانی قوت مروڑ کا مطلب ہے کہ یہ زاویہ θ_{ar} کے الٹ جانب ہے یعنی یہ میکانی قوت مروڑ اس زاویہ کو کم کرنے کی جانب کو ہے۔ مشین کے ساکن اور گھومتے حصوں پر ایک برابر مگر الٹ سمتوں میں میکانی قوت مروڑ ہوتا ہے البتہ ساکن حصے کا قوت مروڑ مشین کے وجود کے ذریعہ زمین تک منتقل ہو جاتا ہے جبکہ گھومتے حصے کا میکانی قوت مروڑ اس حصے کو گھماتا ہے۔

چونکہ مقناطیسی دباؤ برقی رو کے براہ راست تناسب ہے لہذا τ_a اور i_a آپس میں براہ راست تناسب ہیں جبکہ τ_r اور i_r آپس میں براہ راست تناسب ہیں۔ اس سے یہ ظاہر ہوتا ہے کہ مساوات 5.85 اور 5.92 ایک جیسے ہیں۔ درحقیقت یہ ثابت کیا جا سکتا ہے کہ یہ دونوں بالکل برابر ہیں۔



شکل 5.30: مقناطیسی بہاؤ اور ان کے زاویے۔

شکل 5.30 میں ایک مرتبہ پھر ساکن اور گھومتے لچھوں کے مقناطیسی دباؤ دکھائے گئے ہیں۔ شکل میں بائیں جانب ٹکون ΔAEC اور ΔBEC میں CE مشترکہ ہے اور ان دو ٹکونوں سے واضح ہے کہ

$$(5.93) \quad CE = \tau_r \sin \theta_{ar} = \tau_{ar} \sin \theta_a$$

اس مساوات کی مدد سے مساوات 5.92 یوں لکھا جاسکتا ہے۔

$$(5.94) \quad T_m = -\frac{P}{2} \frac{\mu_0 \pi r l}{l_g} \tau_a \tau_{ar} \sin \theta_a$$

اسی طرح شکل 5.30 کے دائیں جانب ٹکون ΔMWQ اور ٹکون ΔSWQ میں WQ کا طرف مشترکہ ہے اور ان دو ٹکونوں سے واضح ہے کہ

$$(5.95) \quad WQ = \tau_a \sin \theta_{ar} = \tau_{ar} \sin \theta_r$$

اب اس مساوات کی مدد سے مساوات 5.92 یوں لکھا جاسکتا ہے۔

$$(5.96) \quad T_m = -\frac{P}{2} \frac{\mu_0 \pi r l}{l_g} \tau_r \tau_{ar} \sin \theta_r$$

مساوات 5.92 مساوات 5.94 اور مساوات 5.96 کو ایک جگہ لکھتے ہیں۔

$$(5.97) \quad T_m = -\frac{P}{2} \frac{\mu_0 \pi r l}{l_g} \tau_a \tau_r \sin \theta_{ar}$$

$$(5.97) \quad T_m = -\frac{P}{2} \frac{\mu_0 \pi r l}{l_g} \tau_a \tau_{ar} \sin \theta_a$$

$$T_m = -\frac{P}{2} \frac{\mu_0 \pi r l}{l_g} \tau_r \tau_{ar} \sin \theta_r$$

ان مساوات سے یہ واضح ہے کہ میکانی قوت مروڑ کو دونوں لچھوں کے مقناطیسی دباؤ اور ان کے مابین زاویہ کی شکل میں لکھا جاسکتا ہے یا پھر ایک لچھے کی مقناطیسی دباؤ اور کل مقناطیسی دباؤ اور ان دو کے مابین زاویہ کی شکل میں لکھا جاسکتا ہے۔

اس بات کو یوں بیان کیا جاسکتا ہے کہ میکانی قوت مروڑ دو مقناطیسی دباؤ کے آپس میں رد عمل کی وجہ سے وجود میں آتا ہے اور یہ ان مقناطیسی دباؤ کی چوٹی اور ان کے مابین زاویہ پر منحصر ہوتا ہے۔

مقناطیسی دباؤ، مقناطیسی شدت، کثافت مقناطیسی بہاؤ اور مقناطیسی بہاؤ سب کا آپس میں تعلق رکھتے ہیں لہذا ان مساوات کو کئی مختلف طریقوں سے لکھا جاسکتا ہے۔ مثلاً خلائی درز میں کل مقناطیسی دباؤ τ_{ar} اور وہاں کثافت مقناطیسی بہاؤ B_{ar} کا تعلق

$$(5.98) \quad B_{ar} = \frac{\mu_0 \tau_{ar}}{l_g}$$

استعمال کر کے مساوات 5.97 کے آخری جزو کو یوں لکھا جاسکتا ہے

$$(5.99) \quad T_m = -\frac{P}{2} \pi r l \tau_r B_{ar} \sin \theta_r$$

مقناطیسی آلوں میں مقناطیسی قالب کی مقناطیسی مستقل μ کی محدود صلاحیت کی وجہ سے قالب میں کثافت مقناطیسی بہاؤ تقریباً ایک ٹیلا تک ہی بڑھائی جاسکتی ہے۔ لہذا مشین بناتے وقت اس حد کو مد نظر رکھنا پڑتا ہے۔ اسی طرح گھومتے لچھے کا مقناطیسی دباؤ اس لچھے میں برقی رو پر منحصر ہوتا ہے۔ اس برقی رو سے لچھے کی مزاحمت میں برقی توانائی ضائع ہوتی ہے جس سے یہ لچھا گرم ہوتا ہے۔ برقی رو کو اس حد تک بڑھایا جاسکتا ہے جہاں تک اس لچھے کو ٹھنڈا کرنا ممکن ہو۔ لہذا مقناطیسی دباؤ کو اس حد کے اندر رکھنا پڑتا ہے۔ چونکہ اس مساوات میں یہ دو بہت ضروری حدیں واضح طور پر سامنے ہیں اس لئے یہ مساوات مشین بنانے کی غرض سے بہت اہم ہے۔

اس مساوات کی ایک اور بہت اہم شکل اب دیکھتے ہیں۔ ایک قطب پر مقناطیسی بہاؤ ϕ_P ایک قطب پر اوسط کثافت مقناطیسی بہاؤ $B_{اوسط}$ ضرب ایک قطب کا رقبہ A_P ہوتا ہے۔ جہاں

$$(5.100) \quad B_{اوسط} = \frac{1}{\pi} \int_{-\frac{\pi}{2}}^{+\frac{\pi}{2}} B_0 \cos \theta \, d\theta = \frac{2B_0}{\pi}$$

$$(5.101) \quad A_P = \frac{2\pi r l}{P}$$

لہذا

$$(5.102) \quad \phi_P = \frac{2B_0}{\pi} \frac{2\pi r l}{P}$$

اور

$$(5.103) \quad T_m = -\frac{\pi}{2} \left(\frac{P}{2} \right)^2 \phi_{ar} \tau_r \sin \theta_r$$

یہ مساوات معاصر مشینوں کے لئے بہت کارآمد ہے۔

- earth, 94
- eddy current loss, 62
- eddy currents, 62, 126
- electric field
 - intensity, 10
- electrical rating, 59
- electromagnet, 131
- electromotive force, 61, 137
- emf, 137
- enamel, 62
- energy, 43
- Euler, 21
- excitation, 61
- excitation current, 50, 60, 61
- excitation voltage, 61
- excited coil, 61

- Faraday's law, 38, 125
- field coil, 131, 251
- flux, 30
- Fourier series, 63, 142
- frequency, 130
- fundamental, 142
- fundamental component, 64

- generator
 - ac, 159
- ground current, 94
- ground wire, 94

- harmonic, 142
- harmonic components, 64

- ampere-turn, 32
- armature coil, 131, 251
- axle, 161

- carbon bush, 177
- cartesian system, 4
- charge, 10, 136
- circuit breaker, 178
- coercivity, 46
- coil
 - high voltage, 56
 - low voltage, 56
 - primary, 55
 - secondary, 55
- commutator, 164, 241
- conductivity, 25
- conservative field, 108
- core, 55, 126
- core loss, 62
- core loss component, 64
- Coulomb's law, 10
- cross product, 13
- cross section, 9
- current
 - transformation, 66
- cylindrical coordinates, 5

- delta connected, 92
- design, 195
- differentiation, 18
- dot product, 15

- E,I, 62

parallel connected, 253
 permeability, 26
 relative, 26
 phase current, 94
 phase difference, 23
 phase voltage, 94
 phasor, 21
 pole
 non-salient, 140
 salient, 140
 power, 43
 power factor, 23
 lagging, 23
 leading, 23
 power factor angle, 23
 power-angle law, 188
 primary
 side, 55

 rating, 96, 97
 rectifier, 164
 relative permeability, 26
 relay, 101
 reluctance, 25
 residual magnetic flux, 45
 resistance, 25
 rms, 49, 164
 rotor, 36
 rotor coli, 104
 rpm, 155

 saturation, 47
 scalar, 1
 self excited, 251
 self flux linkage, 42
 self inductance, 42
 separately excited, 251
 side
 secondary, 55
 single phase, 23, 59
 slip, 209
 slip rings, 176, 229

Henry, 39
 hunting, 178
 hysteresis loop, 46

 impedance transformation, 71
 in-phase, 69
 induced voltage, 38, 49, 61
 inductance, 39

 Joule, 43

 lagging, 22
 laminations, 31, 62, 126
 leading, 22
 leakage inductance, 79
 leakage reactance, 79
 line current, 94
 line voltage, 94
 linear circuit, 226
 load, 98
 Lorentz law, 136
 Lorenz equation, 102

 magnetic constant, 26
 magnetic core, 31
 magnetic field
 intensity, 11, 33
 magnetic flux
 density, 33
 leakage, 78
 magnetizing current, 64
 mmf, 30
 model, 81, 207
 mutual flux linkage, 43
 mutual inductance, 42

 name plate, 97
 non-salient poles, 177

 Ohm's law, 26
 open circuit test, 86
 orthonormal, 3

unit vector, 2

VA, 75

vector, 2

volt, 137

volt-ampere, 75

voltage, 137

DC, 164

transformation, 66

Watt, 43

Weber, 32

winding

distributed, 140

winding factor, 147

star connected, 92

stator, 36

stator coil, 104, 127

steady state, 175

step down transformer, 58

step up transformer, 58

surface density, 11

synchronous, 130

synchronous inductance, 184

synchronous speed, 155, 176

Tesla, 33

theorem

maximum power transfer, 229

Thevenin theorem, 226

three phase, 59, 92

time period, 100, 142

torque, 165, 209

pull out, 178

transformer

air core, 59

communication, 59

ideal, 65

transient state, 175

- ابتدائی
جانب، 55
لچھا، 55
ارتباط بہاؤ، 39
اضافی
زاویائی رفتار، 212
اکائی سمتیہ، 2
امالہ، 39
امالی برقی دباؤ، 38، 49، 61
اوہم میٹر، 237
ایک، تین پتریاں، 62
ایک مرحلہ، 59
ایک پیسہ چکر، 32
بار، 136
برقرار چالو، 100، 175
برقی بار، 10، 136
برقی دباؤ، 28، 137
تبادلہ، 56، 66
محرك، 137
پہچانی، 185
یک سمتی، 164
برقی رو، 28
بھنور نما، 126
تبادلہ، 66
پہچان انگیز، 50
برقی سکت، 59
برقی میدان، 10
شدت، 10، 28
بش، 177
بناوٹ، 86
بنیادی جزو، 64، 142
بو جھ، 98
بھنی، 114
بھنور نما
برقی رو، 62
ضیاع، 62
بھنور نما برقی رو، 126
بے بو جھ، 60
پتری، 31، 126
پتریاں، 62
پورا بو جھ، 197
پچھچھ، 80
پیش زاویہ، 22
تاخیری زاویہ، 22
تار کی برقی دباؤ، 94
تار کی برقی رو، 94
تانبہ، 28
تبادلہ
رکاوٹ، 71
تختی، 97
تدریجی تفرق، 113
تعدد، 130
تعقب، 178
تفرق، 18
جزوی، 18
تکمل، 18
تکوئی جوڑ، 92
توانائی، 43
تین مرحلہ، 59، 92
ٹرانسفارمر
برقی دباؤ والا، 59
بو جھ بردار، 68
خلائی قالب، 59
دباؤ بڑھاتا، 58
دباؤ گھٹاتا، 58
ذرائع ابلاغ، 59
رو والا، 59
کامل، 65
ٹسلا، 33
ٹھنڈی تار، 94
ثانوی جانب، 55
چاول، 43
جزو
پھیلاؤ، 147
جزو طاقت، 23
پیش، 23
تاخیری، 23

- جزیر 159، بدلتی رو، 176، 229، سرک چٹے،
 سطحی تحلیل، 181،
 سطحی کشافیت، 11،
 سکت، 96، 97،
 سلسلہ وار، 145،
 سمت کار، 241،
 برقیاتی، 164،
 میکانی، 164،
 سمتیہ، 2،
 عمودی اکائی، 3،
 سمتی رفتار، 102،
 سیرانیت، 47،
 ضرب
 نقطہ، 15،
 ضرب صلیبی، 13،
 طاقت، 43،
 طاقت بالقابل زاویہ، 188،
 طول موج، 18،
 عارضی صورت، 175،
 عمودی تراش، 9،
 رقبہ، 9،
 غیر سمتی، 1،
 غیر معاصر، 178،
 فورئیر، 250،
 فورئیر تسلسل، 63، 142،
 فیراڈے
 قانون، 38، 125،
 قالب، 126،
 قالبی ضیاع، 62،
 جزو، 64،
 قانون
 اوہم، 26،
 کولمب، 10،
 لورینز، 136،
 قدامت پسند میدان، 108،
 قریب جڑی مرکب، 253،
 جزیر
 بدلتی رو، 159،
 جوڑ
 ٹکونی، 92،
 ستارہ نما، 92،
 چکر فی منٹ، 126،
 چوٹی، 211،
 خطی
 برقی دور، 226،
 خودارتباط بہاء، 42،
 خودامالہ، 42،
 داخلی پیمان
 سلسلہ وار، 253،
 متوازی، 253،
 مرکب، 253،
 دور جڑی مرکب، 253،
 دور شکن، 178،
 دوری عرصہ، 100، 142،
 دھرا، 161،
 رستا
 امالہ، 79،
 متعاملہ، 79،
 رستائیت، 217،
 رفتار
 اضافی زاویائی، 212،
 روغن، 62،
 ریاضی نمونہ، 81، 207،
 ریلے، 101،
 زاویہ جزو طاقت، 23،
 زمین، 94،
 زمینی برقی رو، 94،
 زمینی تار، 94،
 ساکن حصہ، 36،
 ساکن پچھا، 104، 127،
 ستارہ نما جوڑ، 92،
 سرک، 209،

مرحلی فرق، 23
 مرکب جزیر، 253
 مزاحمت، 25
 مساوات اور نیز، 102
 مسئلہ
 تھون، 226
 زیادہ سے زیادہ طاقت کی منتقلی، 228
 مشترکہ ارتباط امالہ، 43
 مشترکہ امالہ، 42
 معاصر، 130
 معاصر امالہ، 184
 معاصر رفتار، 155، 176
 معائنہ
 کھلے دور، 86
 مقناطیس
 برقی، 131
 چال کا دائرہ، 46
 خاتم شدت، 46
 مقناطیسی برقی رو، 64
 مقناطیسی بہاؤ، 30
 رشتہ، 78
 کشاف، 33
 مقناطیسی چال، 52
 مقناطیسی دباؤ، 30
 سمت، 141
 مقناطیسی قالب، 31، 55
 مقناطیسی مستقل، 26، 166
 جزو، 26، 31
 مقناطیسی میدان
 شدت، 11، 33
 موثر، 19، 49
 موثر قیمت، 164
 موسیقائی جزو، 64، 142
 موصلیت، 25
 میدانی لچھے، 251
 واٹ، 43
 وولٹ، 137
 وولٹ-ایمپیئر، 75
 وپیر، 32

قطب
 ابھرے، 140، 177
 ہموار، 140، 177
 قوت مروڑ، 165، 209
 انتہائی، 178
 قوی الیکٹرانکس، 207، 241
 قوی لچھے، 251
 کاربن بش، 177
 کارگزاری، 200
 کپیسٹر، 194
 کشاف
 برقی رو، 27
 کشاف مقناطیسی بہاؤ
 بقایا، 45
 کسر دور، 38
 گرم تار، 94
 گھومتا حصہ، 36
 گھومتا لچھا، 104
 لچھا
 ابتدائی، 55
 پھیلے، 140
 پیچیدار، 40
 ثانوی، 55
 زیادہ برقی دباؤ، 56
 ساکن، 104
 سمت، 133
 قوی، 131
 کم برقی دباؤ، 56
 گھومتا، 104
 میدانی، 131
 محدود
 کارتیسی، 4
 نکلی، 5
 محرک برقی دباؤ، 61
 محور، 161
 مخلوط عدد، 192
 مرحلی سمتیہ، 21، 186

یک سمتی رو
مشین، 241
یک مرحلہ، 23
یک مرحلہ برقی دباؤ، 94
یک مرحلہ برقی رو، 94
یولر مساوات، 21

ویبر-چکر، 39
ہچکچاہٹ، 25، 30
ہم قدم، 69
ہیجان، 61
بیرونی، 251
خود، 251
لچھا، 61
ہیجان انگیز
برقی دباؤ، 61
برقی رو، 61
ہیجان انگیز برقی رو، 60
ہیجانی برقی دباؤ، 185